

Vysoká škola strojní a textilní v Liberci

nositelka řádu práce

Fakulta strojní

Obor 23 - 34 - 8

Výrobní stroje a zařízení

zaměření

Sklářské a keramické stroje

Fakulta sklářství a keramiky

Izostatický lis na předlisování prášku Al<sub>2</sub>O<sub>3</sub>

Zdeněk Falán

BP 374/81

Vedoucí práce : Ing. František Novotný VŠST Liberec

Konzultant : Ing. Eva Hašková, CSc VŠST Liberec

Rozsah práce a příloh:

Počet stran: 66

Počet příloh a tabulek: 0

Počet obrázků: 29

Počet výkresů: 2

Počet modelů: 0

DT: 666.3.022.

Datum: 22. 5. 1981

*✓ 2/1*

Vysoká škola: strojní a textilní

Katedra: sklár. a keram. strojů

Fakulta: strojní

Školní rok: 1980/81

## DIPLOMOVÝ ÚKOL

pro Zdeňka Palána

obor 83-21-8 stroje a zařízení pro chemický, potravinářský  
a spotřební průmysl

Protože jste splnil... požadavky učebního plánu, zádává Vám vedoucí katedry ve smyslu směrnic ministerstva školství o statních závěrečných zkouškách tento diplomový úkol.

Název téma: Izostatický lis pro předlis prášku  $\text{Al}_2\text{O}_3$ .

### Pokyny pro vypracování:

Při přípravě granulátu prášku  $\text{Al}_2\text{O}_3$  je nutné provádět předlis výchozí suroviny, prášku  $\text{Al}_2\text{O}_3$ . Vzhledem k vlastnostem tohoto prášku je aplikace jednoosého lisování vyloučena, proto se předlis provádí izostaticky. Použití vysokotlakého izostatického lisu pro tuto operaci je neekonomické.

Úkolem Vaší diplomové práce bude navrhnout a konstrukčně zpracovat nízkotlaký izostatický lis se suchou formou na maximální lisovací tlak 12 MPa s výrobností minimálně 150 kg prášku za směnu.

V práci proveďte:

1. Alternativní návrh koncepce izostatického lisu s autonatickým pracovním cyklem.
2. Nejvhodnější alternativu zpracujte konstrukčně formou se stavného výkresu.
3. Hlavní podskupiny, tj. tlakové komory s formami a plnicí zařízení zpracujte formou podsestavných výkresů.
4. Technicko-ekonomické zhodnocení přínosu.

Autorčiná práce je řízena směrnicemi  
MÍK, MPO, MZV, MZV, Řízení výroby  
7.1.7.1, 7.1.7.2, 7.1.7.3

Výrobek je řízen výrobcem  
M. Šimáček, M. Šimáček  
7.1.7.1, 7.1.7.2, 7.1.7.3  
Grafika 22 3571 73

Rozsah grafických laboratorních prací: cca 40 stran textu doložených příslušnými výpočty a výkresy

Rozsah průvodní zprávy:

Seznam odborné literatury:

Novotný, F., Hašková, E.: Úprava prášku  
-1,0 pro kalcinaci granulováním  
(PV 8784/79).

Jelen, J.: Technologie výroby transparentních trubic /Výzkumná zpráva/ 1979

Hašková, E., Novotný, F.: Lícování keramických prášků /Výzkumná zpráva úkolu P-01-124-010/01/ Liberec 1979.

Dokumentace izostatického lisu CJZ 4  
n.p. Zdas

Prospekty izo-lisu firmy Dorot (NDR)

Ing. František Novotný

Vedoucí diplomové práce:

Ing. Eva Hašková

Konsultanti:

Datum zahájení diplomové práce: 6. 10. 1980

Datum odevzdání diplomové práce: 22. 5. 1981

Doc.Ing.Jaroslav Beldá, CSc  
Vedoucí katedry

Doc.RNDr.B Bohuslav Stříž, CSc  
Dekan

v Literci dne 6.10. 1980

Místopřísežnč prchlašuji, že jsem diplomovou  
práci vypracoval samostatnč s použitím uvedené li-  
teratury.

*Zdeněk Palčík*

<u>Obsah:</u>	Str.
1. Úvod	5
2. Rozbor současného stavu a požadavky na izostatický lis a pomocná zařízení	8
2.1. Popis současného stavu	6
2.2. Obecný popis izostatického lisování, rozdíly od lisování klasického	8
2.3. Zdůvodnění výhodnosti předlisování prášku $\text{Al}_2\text{O}_3$	11
2.4. Výchozí požadavky kladené na zařízení	16
3. Alternativy řešení izostatického lisu	18
3.1. Pracovní cyklus izostatického lisu	18
3.2. Přehled navrhovaných alternativ řešení	19
3.2.1. Karuselové uspořádání	19
3.2.2. Řadové uspořádání	20
3.2.3. Jednopozicový lis	21
3.2.4. Lis kvaziizostatický	21
3.3. Zhodnocení a výběr optimální varianty	29
4. Konstrukce izostatického lisu a přídavných zařízení	32
4.1. Projektový návrh zařízení	32
4.1.1. Rozbor pracovního cyklu	33
4.1.2. Řešení pracovního obvodu	36
4.1.3. Popis činnosti navrženého pracovního obvodu	41
4.2. Konstrukční řešení jednotlivých částí	46
4.2.1. Hydraulický lis FYE 1G N	46
4.2.2. Výpočet tlakové nádoby	46
4.2.3. Výpočet formy	52
4.2.4. Výpočet zavážecího vozíku	54
4.2.5. Mechanismus skluzu	54
4.2.6. Mechanismus razníku	58
5. Technicko-ekonomické zhodnocení	60
5.1. Přínos zařízení	61
6. Závěr	64
7. Seznam použité literatury	65
8. Seznam příloh	66

## 1. Úvod

Důsledné uplatňování nových poznatků vědy a techniky, ochrana a tvorba životního prostředí a co nejlepší využívání všech energetických zdrojů surovin, to jsou hlavní požadavky kladené na všechny pracující v každé sféře národního hospodářství.

V návrhu hlavních směrů hospodářského a sociálního rozvoje ČSSR na léta 1981 - 1985 se tak jako dosud počítá s dalším zvyšováním průmyslové výroby. Ovšem charakteristickým rysem návrhu je to, že předpokládá potřebný vzestup národního důchodu při nižším tempu růstu výrobní spotřeby. Z toho vyplývá, že je založen na vyšším zhodnocování všech zdrojů použitých v materiální výrobě, v celém národním hospodářství.

Je známo, že ve srovnání s jinými vyspělými státy spotřebovává naše národní hospodářství na jednotku národního důchodu o jednu pětinu až o jednu polovinu více energetických zdrojů a nejinak je tomu ve spotřebě surovin. Proto tedy součástí návrhu hlavních směrů je úkol, zabezpečit v průběhu jednotlivých let snižování spotřeby energie, kovů a dalších surovin, zvláště pak ročních produktů.

Prakticky tyto požadavky znamenají postupně urychlovat rozvoj odvětví, která i výrobků méně náročných na suroviny a energetické zdroje, ale o to náročnější na vklad velmi kvalifikované, vědecké a tvůrčí práce.

Podle návrhu hlavních směrů rozvoje bude i nadále hrát nezastupitelnou úlohu ve vnějších ekonomických vztazích.

zích strojírenství, jako tradiční odvětví našeho národního hospodářství. Současně se však musí hledat možnosti pro vývoz i v dalších odvětvích a oborech, zejména v těch, které využívají dorácí surovinovou základnu, jako je například i sklářský a keramický průmysl.

Jedním z krůčků na této cestě racionálních úspor je použití moderních světelných zdrojů s vysokou účinností přeměny energie elektrické na světelnou a to vysokotlakých sodíkových výbojek.

Výroba těchto svítidel je náročná a jsou s ní spojeny problémy jejichž vyřešení se urychlí přechod na sériovou výrobu.

Jednou z klavních součástí sodíkových výbojek je keramická trubice z transparentního korundu. Základní surovina pro výrobu těchto trubic je kysličník hlinitý modifikace  $\gamma$  -  $Al_2O_3$ , vysoké chemické čistoty, který je připraven rozkladem kamence hlinitoamonného  $Na_4Al/SC_4/2$ . Modifikace

$\gamma$  -  $Al_2O_3$  - je velice jemný prášek / měrný povrch 100-120  $m^2/g$  /, který má dobré tokové vlastnosti. To znamená, že jím lze poměrně snadno plnit lisovací formy. Značně horší tokové vlastnosti má modifikace  $\alpha$  -  $Al_2O_3$ , jenž se připravuje kalcinací z modifikace  $\gamma$  a je vlastní surovinou pro výrobu trubic. Zhoršené tokové vlastnosti  $\alpha$  korundu ztěžují mechanické operace, které jsou třeba provést před vlastním lisováním trubic. Aby zůstaly zachovány dobré tokové vlastnosti  $\gamma$  prášku, provádí se před kalcinací granulace. Granulace spočívá v předlisování  $\gamma$  korundu na izostatickém lisu poměrně malým tlakem, čímž se dosáh-

ne rovnoramné zhutnění prášku, a následným rozdružením výlišku na granulát. Granulovaným práškem  $\alpha$ -Al<sub>2</sub>O<sub>3</sub> lze mechanické operace provádět snadno a výhodněji než u volného  $\alpha$  prášku.

Izostatické lisování  $\gamma$ -Al<sub>2</sub>O<sub>3</sub>, jako nutný proces pro získání granulátu, se dosud provádělo na vysokotlakém izostatickém lisu, jehož použití je pro tuto operaci neekonomiccké.

Úkolem diplomové práce je proto navrhnout a konstrukčně zpracovat nízkotlaký izostatický lis se suchou formou na maximální lisovací tlak 12 MPa s výrobností minimálně 150 kg prášku za směnu.

2. Rozbor současného stavu a požadavky na izostatický lis a pomocná zařízení.

2. 1. Popis současného stavu

Izostatické lisování prášku  $\gamma\text{-Al}_2\text{O}_3$  se dosud provádělo tak, že se ručně naplnily prýžové formy práškem, uzavřely se a vložily se do perforovaného plechového koše, který se ponořil do tlakové komory vysokotlakého izostatického lisu. Provádělo se izostatické lisování v mokré formě. Po odlisování se koš s formami opět vyjmula, formy se ručně otevřely a vyjmuly se z nich výlisky, které se dále zpracovávaly na granulát. Všechny úkony spojené s manipulací, plněním, vyjmáním se tedy prováděly ručně a izostatický lis konstruovaný na značně vyšší tlaky než je zapotřebí spotřeboval pro svou činnost více energie než izostatický lis konstruovaný na tlaky potřebné.

Takovýto stav nemůže vychovovat seriové výroby, a tak je nutné vyřešit zautomatizování procesu a navrhnout izostatický lis vyvozující tlaky nutné a postačující k předlisování.

2. 2. Obecný popis izostatického lisování, rozdíly od lisování klasického.

Izostatické lisování /někdy též hydrostatické/, je takový způsob tváření, kdy na sypkou hmotu /v našem případě prášek  $\gamma\text{-Al}_2\text{O}_3$ / uzavřenou v prýžové formě působí vše směrný tlak kapaliny. Toto je také základní rozdíl od

běžných způsobů lisování, to znamená lisování z jedné, respektive z obou stran v kovové formě pomocí razníků. U jednostranného nebo oboustranného lisování v kovové formě nelze zajistit rovnoměrnou hustotu výlisku v celém objemu, z důvodu nedokonalého prostředu tlaku lisovanou hmotou - i když tlaku s výškou výlisku, pročež nedostaneme požadované vlastnosti výlisku. Při výpadku se pak takovýto výlisek bude smrštovat nepravidelně. V místech největšího zhutnění /to je v případě dvoustranného lisování na čelech výlisku a v případě jednostranného lisování na čele, které bylo ve styku s razníkem/ se smrští méně než v oblasti zhutnění menšího /oboustranné lisování - uprostřed výlisku a jednostranné lisování - na čele, které nebylo ve styku s razníkem - viz obrázek 1 a, b/. Tyto problémy vznikají už tehdy, je-li poměr výšky výlisku k jeho průměru  $\frac{h}{d} \geq 1$ . Nevýhody nebo potíže provázející klasický způsob lisování odstraňuje právě lisování izostatické.

#### Výhody izostatického lisování [6]:

- 1/ Homogenní napjatost při izostatickém lisování ruší vrozencu anizotropii výlisků a nedovoluje rozvoj anizotropie deformační. Důsledek je v izotropii mechanických vlastností /homogenita objemové hmotnosti v celém objemu výlisku, ve všech směrech stejná pevnost při smrštění po slinování/ .
- 2/ umožňuje při stejné velikosti měrného tlaku dosahovat poněkud vyšší objemové hmotnosti oproti klasickému lisování.
- 3/ Homogenní rozdělení pórů v celém výlisku, redukuje možnost výskytu vnitřních pnutí, čímž přispívá k dosažení

větších pevností.

4/ Lze jím lisovat takové tvary výlisků, které není možné jiným způsobem vyrobit,

5/ Lze dosáhnout kvalitních výlisků prakticky pro libovolný poměr délky výlisku k jeho průměru.

6/ Je aplikovatelné prakticky na všechny typy práškových materiálů.

7/ Umožňuje zpracování i nejtvrdších práškových materiálů, při čerž náklady na formu a její opotřebení jsou minimální.

8/ Má minimální nároky na plastifikaci zpracovávaných materiálů.

9/ Dává předpoklady nejen pro dosažení výborných mechanických vlastností, ale také elektrických, případně dalších speciálních vlastností finálního výrobku.

Tato technologie má ovšem také své nevýhody.

1/ Vyšší výrobní náklady oproti klasickému lisování, které plynou z nutnosti dodatečného obrábění finálního povrchu výlisku.

2/ Poměrně nízká produktivita práce .

3/ Omezené možnosti automatizace výroby.

/ Pod 2/ a 3/ se týká pouze lisování v mokré formě./

4/ Vysoké technické nároky i náklady na výrobní zařízení.

Existují dva základní způsoby izostatického lisování plus způsob, který slučuje výhody lisování izostatického a výhody lisování klasického /jednodušší strojní zařízení, menší časová náročnost/ tak zvané kvaziizostatické lisování. Tento způsob bude podrobněji probrán v kapitole 3.2.4.

Prvním ze základních způsobů izostatického lisování

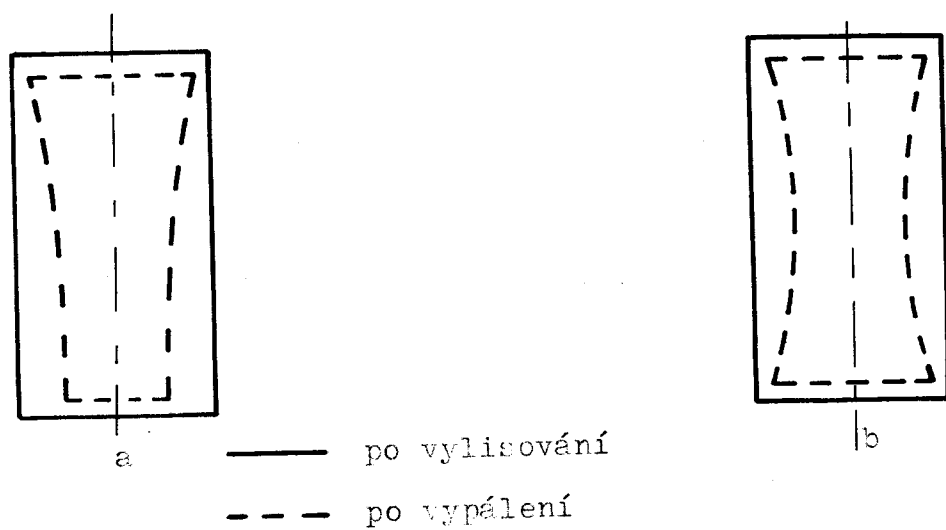
je lisování v mokré formě. V tomto případě je celá forma, jenž je uzavřena pryžovou zátkou s "o" kroužkem ponořena v tlakové kapalině a tlak působí skutečně všesměrně - obr.2[6]. Nevýhodou tohoto postupu je to, že jeho zautomatizování je obtížnější než u druhého základního způsobu a tím je izostatické lisování v suché formě /někdy též pseudoizostatické/. Pryžová forma je stabilně upevněna v tlakové konoře, ale zde již nedochází k čistému všesměrnému lisování, nýbrž převažuje zhutňování radiální - viz obr.3 /u vyšších rotačně souměrných výrobků/ nebo axiální - viz obr.4[6] /u plochých výrobků/. Tento způsob se dá dobře automatizovat.

Izostatickým lisováním je možno získat výlisky rovnoměrně hutné bez ohledu na poměr výšky k průřezu. K dosažení stejné objemové hmotnosti ve srovnání s lisováním v koncovém rástroji stačí tlak až třikrát menší [1]. Tíky homogenímu prolisování je zaručena dostatečná pevnost výlisek. Vlivem nerovnoměrné hutnosti před vlastním lisováním / po naplnění formy / dostává výlisek kostrbatý - obr. 3. Ovšem, odstraníme-li tyto nerovnosti povrchu obrážením nebo broušením, výlisek si zachová požadovaný tvar i po výpalu.

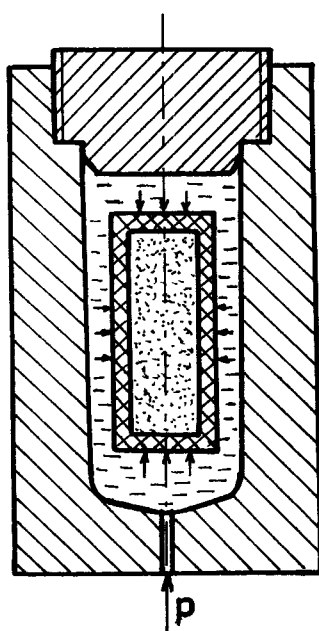
Způsob izostatického lisování v suché formě užiji i pro řešení této diplomové práce.

### 2.3. Zdůvodnění výhodnosti předlisování prášku $\gamma$ -Al<sub>2</sub>O<sub>3</sub> [7].

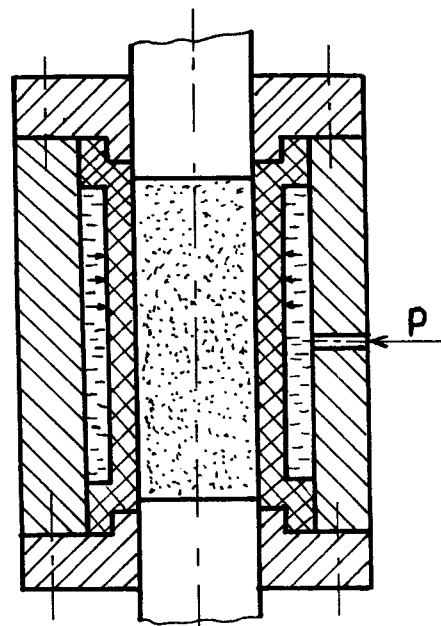
Prášek  $\alpha$ -Al<sub>2</sub>O<sub>3</sub> má oproti prášku  $\gamma$ -Al<sub>2</sub>O<sub>3</sub> horší tokové vlastnosti. To přináší potíže při plnění lisovacích form tímto práškem.



obr. 1 a,b

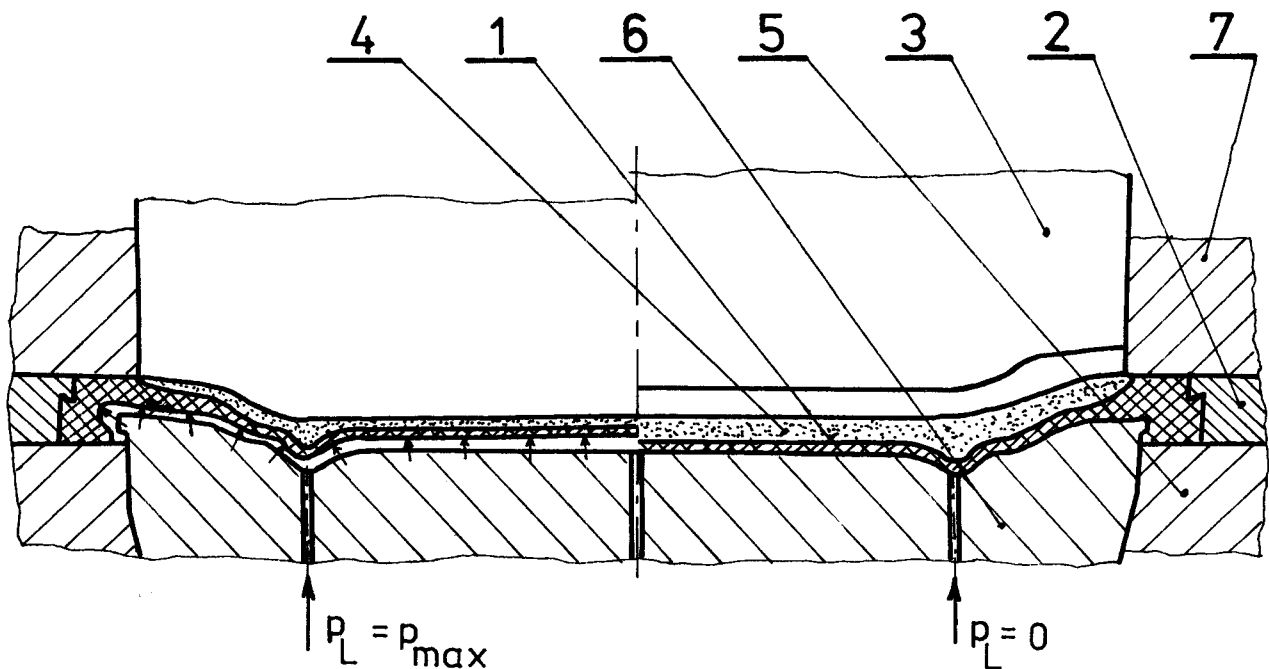


obr. 2



obr. 3

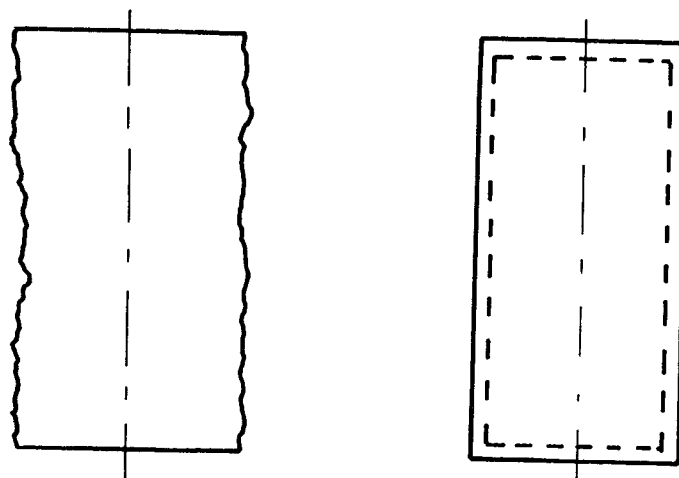
p ... lisovací tlak



- |                                |            |
|--------------------------------|------------|
| 1 .... pružná tvarová membrána | 5 .... rám |
| 2 .... těleso                  | 6 .... dno |
| 3 .... razník                  | 7 .... rám |
| 4 .... prášek                  |            |

obr. 4

~~~~~ po vylisování  
\_\_\_\_\_ po obrobení  
----- po výpalu



obr. 5

Dále pro prášky volně zkalcinované na různý měrný povrch vznikají rozdíly v obtížnosti snímání vylisovaných trubic z trnu. Toto svědčí o rozdílech v adhezi mezi trubicí a trnem pro různý měrný povrch prášků na nějž byly zkalcinovány. Obecně pro prášky se zvětšujícím se měrným povrchem / od 5 do 35  $\text{m}^2 \text{ g}^{-1}$  / se adheze a obtíže při snímání snižuje. Pro větší povrchy silně vzněstá adheze mezi trubicí a pryžovou formou, což znesnadňuje vyjmání trubic po odlišování z forem. Po aplikování předlisu prášku  $\gamma\text{-Al}_2\text{O}_3$  a jeho následném rozdrcení a prosítování / souhrně granulaci / se dominantním způsobem ovlivnily vlastnosti kalcinátu  $\alpha\text{-Al}_2\text{O}_3$  získaného z granulátu  $\gamma\text{-Al}_2\text{O}_3$ .

1/ Výrazně se zlepšily sypné vlastnosti granulátu, byl do značné míry eliminován vliv měrného povrchu a vzhledem k tomu, že pro sypné vlastnosti granulátů  $\alpha\text{-Al}_2\text{O}_3$  po kalcinaci je určující terciální agregace, lze předpokládat, že sypné vlastnosti granulátů budou méně citlivé na změny v režimu kalcinace, případně kvalitativní rozdíly výchozího prášku  $\gamma\text{-Al}_2\text{O}_3$ .

2/ Granulát umožnil podstatnou měrou zkrátit čeku plnění za stejných parametrů vibrací. Až desetkrát [6].

3/ Byly eliminovány obtíže při snímání vylisku z trnu, neboť při nezhoršené pevnosti vylisků se snížila jejich adheze na trn.

4/ Podmínky při broušení jsou srovnatelné s broušením trubic u volných prášků.

5/ Smrštění po výpalu má srovnatelné hodnoty s volnými prášky a činilo 22,5 - 22,75%.

6/ Struktura vypáleného středu je srovnatelná se strukturou středu z volného prášku, avšak při větší četnosti nehomogenit a vnitřků, což dokumentuje dosažená celková světlá propustnost 80 - 85%. Zhoršenou kvalitu středu vypálených trubic lze spojovat mimo jiné s nevhodnou zrnitostí granulátu, při čemž možnosti optimalizace jeho vlastností lze považovat za reálné.

Kromě uvedených přímých technologických důsledků použití granulátu, je nutné připomenout také nepřímé, avšak neméně důležité.

7/ Sypná objemová hmotnost granulovaného prášku  $\gamma\text{-Al}_2\text{O}_3$  je cca 150% větší než u volně sypaného / 450 kg/m<sup>3</sup> u granulátu oproti 160 - 180 kg/m<sup>3</sup> u volně sypaného/ a dává předpoklad k minimálně dvojnásobnému prosazní kalciiační pece. V této souvislosti je nutné připomenout, že vzhledem k nižší povorositosti násypu granulátů bude nutné upravit kalciiační režimy, avšak přesto lze očekávat značnou energetickou úsporu, to jest spotřebované množství energie na 1 kg kalciátu se sníží úpravou prášku na granulát.

8/ Menší prašnost granulátu dává předpoklad k zlepšení hygieny práce.

Z uvedených bodů vyplývá, jak významnou měrou se do vlastností kalciátu promítla úprava výchozího prášku granulací. U granulovaných kalciátů se výrazně zlepšily sypné vlastnosti, aniž by došlo ke snížení pevnosti výlisků, což výrazně zlepšilo podmínky zpracovatelnosti kalciátů v mechanických operacích technologie. Malé zhoršení kvality vypálených trubic není trvalé, a tak předpoklad k jejímu

zlepšení je v souvislosti s optimalizací podřínek přípravy granulátu reálný. K výhodám granulátu patří i zvýšená objemová hrubost, čímž se ušetří značné množství energie při kalcinaci a značně omezená průšnost granulátu.

Z těchto důvodů se úprava  $\gamma\text{-Al}_2\text{O}_3$  granulací před kalcinací jeví jak z hlediska energetické spotřeby, tak z hlediska hygieny pracovního prostředí jako perspektivní.

Granulát  $\alpha\text{-Al}_2\text{O}_3$  lze získat [6]:

a/ Vokrou cestou s rozprachovým sušením - toto vede k značnému snížení chybových pevností výlisků, což je v řadě případů při izostatickém lisování/ s ohledem na nutnost dodatečného obrábění/ nepřípustné.

b/ Předlisováním  $\gamma\text{-Al}_2\text{O}_3$  nízkým tlakem okolo 10 MPa na izostatickém lisu a výlisky rozdrtit na granulát, který by prošel sítěm o velikosti oka 1 mm a v tomto stavu kalcinovat na  $\alpha\text{-Al}_2\text{O}_3$ .

Návrh zařízení umožňující automatické předlisování prášku  $\gamma\text{-Al}_2\text{O}_3$  je tématem této diplomové práce.

#### 2.4. Výchozí požadavky kladené na zařízení.

- naplnění plnícího zařízení práškem
- uzavření zásobníku / násypky /
- přemístění plnícího zařízení nad formu nebo naopak formu pod plnící zařízení
- plnění formy práškem
- zpětný pohyb plnícího zařízení
- uzavření formy
- vlastní izostatické lisování
- vyjmutí výlisku z formy

- transport výlisku do zásobního kontejneru  
Celý pracovní cyklus musí probíhat automaticky.

### 3. Alternativy řešení izostatického lisu.

Jednotlivé alternativy řešení izostatického lisu byly navrhovány tak, aby splňovaly dříve uvedené požadavky a liší se uspořádáním a způsobem konstrukčního řešení.

#### 3.1. Pracovní cyklus izostatického lisu.

Prášek  $\gamma\text{-Al}_2\text{O}_3$  je připraven v zásobníku. Porocí plnícího zařízení dojde k otevření násypky naplnění formy práškem a uzavření násypky. Po tomto se dá do pohybu beran lisu, který pomocí razníku uzavře formu. Po těsném uzavření formy začíná tlakování, čili vlastní izostatické lisování. Dosáhne-li se potřebného tlaku začne opačný pochod čili odtlakování. Za nulového přetlaku se razník opatřený trnem dá do pohybu nahoru a vynáší z formy výlisek, který ulnívá na trnu. Než dojede do horní polohy, přijíždí pod výlisek skluz. Je-li razník v horní poloze je malým vertikálním posuvem trnu vůči razníku sesmekrut výlisek a padá na připravený skluz a pomocí něj až do zásobního kontejneru výlisků.  
/ Nevadí při tom jestli se pádem rozbitje./ Skluz pak odjíždí zpět do výchozí polohy a pochod se opakuje.

Tento pracovní cyklus je znázorněn v pracovním diagramu - obr.6, který zachycuje jednotlivé výkonné mechanismy a jejich časovou vazbu. Celková doba pracovního cyklu, vzhledem k velikosti formy a potřebnému množství prášku, které se má za směru zpracovat nesmí pře-

sáhnout 45 s.

| operace                 | čas /s/ |
|-------------------------|---------|
| plnění formy            | $t_1$   |
| uzavírání formy         | $t_2$   |
| tlakování a odtlakování | $t_3$   |
| vyjímání výlisku        | $t_4$   |
| plnění plnícího zař.    | $t_5$   |
| odnímání                | $t_6$   |

Celkový čas  $t_{celk} \leq t_1 + t_2 + t_3 + t_4 + t_5 = 45 \text{ s}$

obr. 6

### 3. 2. Přehled navrhovaných alternativ řešení.

Pro návrh izostatického lisu se suchou formou se nabízí jí tři základní konstrukční uspořádání.

#### 3. 2. 1. Karuselové uspořádání - obr. 7.

Na každém ze čtyř rámů otočného stolu je po jedné tlakové komoře s formou. Stůl 1 se otáčí krokově kolem hlavního sloupu lisu 1 pomocí mechanizmu náhonu stolu / např. maltecký kříž nebo vysouvací unášecí kolík /. Tlaková komora s formou 2 přijede pod násypku 6. Ta se otevře a dojde k naplnění formy. Při dalším pootočení stolu se táž forma dostane do pozice, kde nedochází k žádné činnosti. Až při dalším pootočení tlaková komora s formou 2 přijede pod uzaví-

rací válec 8, jehož pístnice je opatřena uzavíracím razníkem a vynášecím trnem. Razník uzavře formu a je otevřen přívodem tlakové kapaliny do tlakové komory. Prášek je lisován. Po odlisování je výlisek vynášen na trnu a stál 2 se začíná otáčet. V době, kdy je pod razníkem s výliskem volný prostor, je výlisek sesmeknut a padá do připraveného kontejneru 5. Prázdná forma dojede do čtvrté pozice, kde se podobně jako v pozici 2 neprovádí žádoucí činnost. Tímto je jeden pracovní cyklus skončen.

### 3. 2. 2. Řadové uspořádání - obr.8 .

Rám celého stroje je uzavřený čtyřsloupový. Stál lisu tvoří dolní příčník, na kterém je připevněna tlaková komora s formami. Hydraulické válce uzavírání a násyprka jsou připevněny na příčníku horním. Fáze činnosti tohoto konstrukčního řešení jsou následující:

Otočný dávkovač 8, pocháněný pomocí pastírky a ozubeného hřebenu hydraulickým válcem 10, naplní formy, které s ním jsou propojeny trubkou z plastické hmoty 11. Po naplnění forem práškem se uvedou v činnost hydraulické válce 5, jejichž pístnice jsou opatřeny razníky s vynášecími trny. Tyto razníky uzavřou formy. Jsou-li formy těsně uzavřeny přivede se do tlakové komory 2 tlaková kapalina a probíhá izostatické lisování. Je-li lisování skončeno písty hydraulických válců 5 se pohybují nahoru a na trnech jsou vynášeny výlisky z forem. Zároveň se přesouvá skluz 4 do funkční polohy. Pak posunem trnu vůči razníku je z něj výlisek sesmeknut a padá na předsunutý skluz. Po skluzu výlisek sjede do základního kontejneru 5. Dávkovač 8 se mezitím oteče tak,

že jeho komůrky jsou plněny práškem z násypky 2. Skluz se odsouvá do zadní polohy. Po tomto úkonu může začít další cyklus.

### 3. 2. 3. Jednopozicový lis - obr.9 .

Popis:

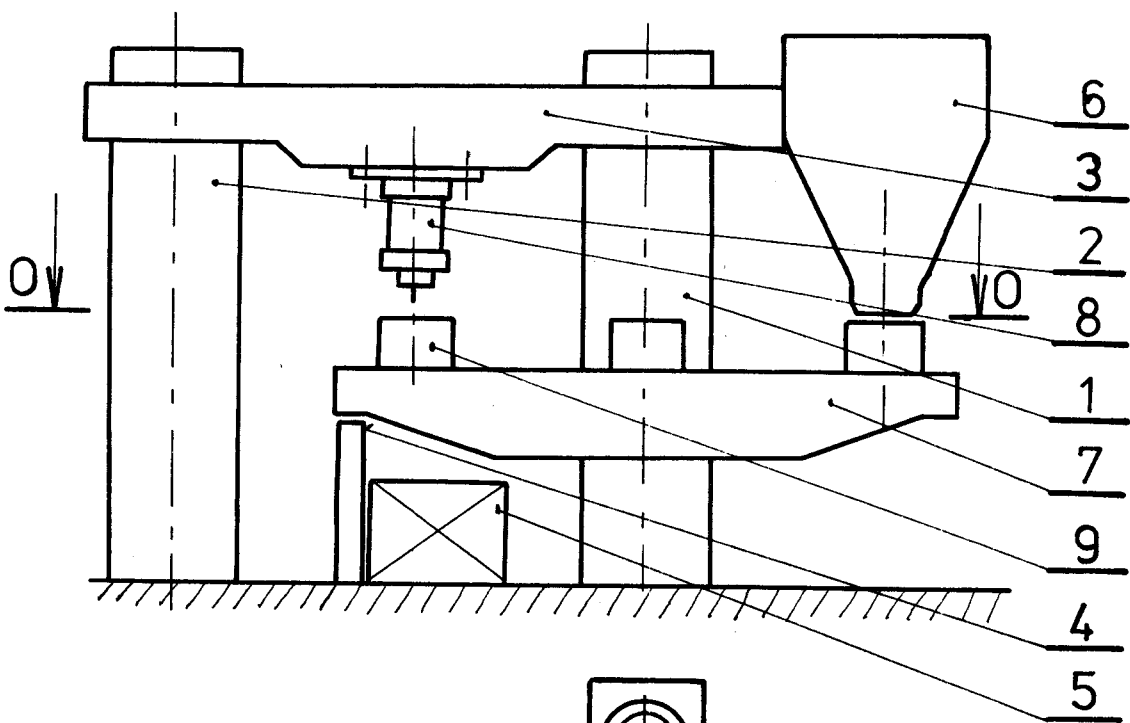
Vlastní izostatický lis 2 je připevněn na stál otevřeného hydraulického lisu "C" 1. Hydraulický válec 2 skluzu 5 je přišroubován na přední stěnu lisu. Na zvláštním svářeném rámu 6 je umístěn zavážecí vozík 4, opatřený uzavíracím plechem a hydraulický válec 8 umožňuje manipulaci s vozíkem. Celý tento systém je též připevněn na stůl lisu. Násypka je pak přišroubována k boční stěně lisu.

Fáze činnosti:

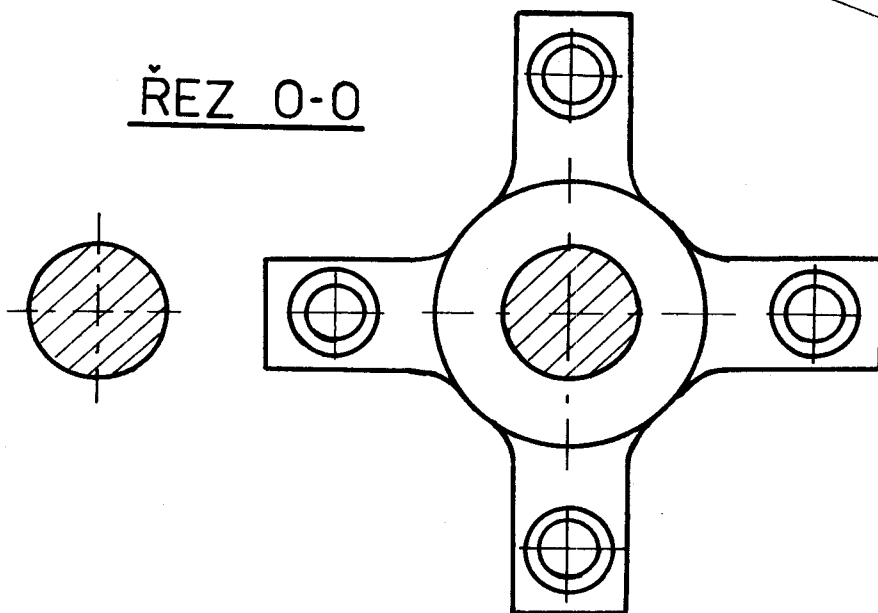
Naplněný zavážecí vozík 4 přijede nad formu a vypustí do ní prášek. Jakmile se začne vozík pohybovat směrem k formě, plech, který je k němu přivařen uzavírá výpustní otvor násypky 3. Zavážecí vozík 4 se vrátí zpět a tím se uvede do činnosti hydraulický válec lisu, jehož píst je jako v předchozích případech opatřen razníkem a trnem 1C. Razník těsně uzavře formu. Do tlakové nádoby 2 je přivedena tlaková kapalina. Prášek se lisuje. Po odlisování je výlisek vynášen z formy na trnu. Předsouvá se skluz 5. Posune-li se trn vůči razníku je z něj výlisek uvolněn a padá na připravený skluz a odtud do zásobního kontejneru. Skluz odjíždí a může začít další cyklus.

### 3. 2. 4. Lis kvaziizostatický - obr. 10, 11, 12.

Tato alternativa je poněkud odlišná od předchozích již svým principem, a proto je nutné nejprve pohovořit o princi-

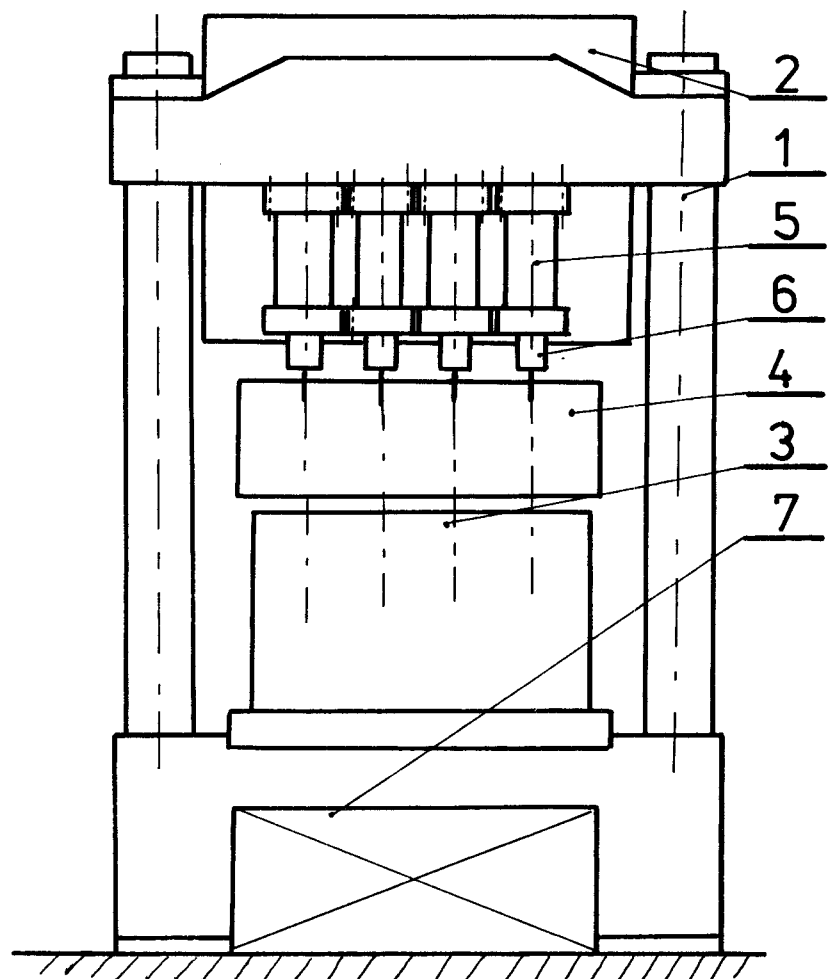


ŘEZ 0-0



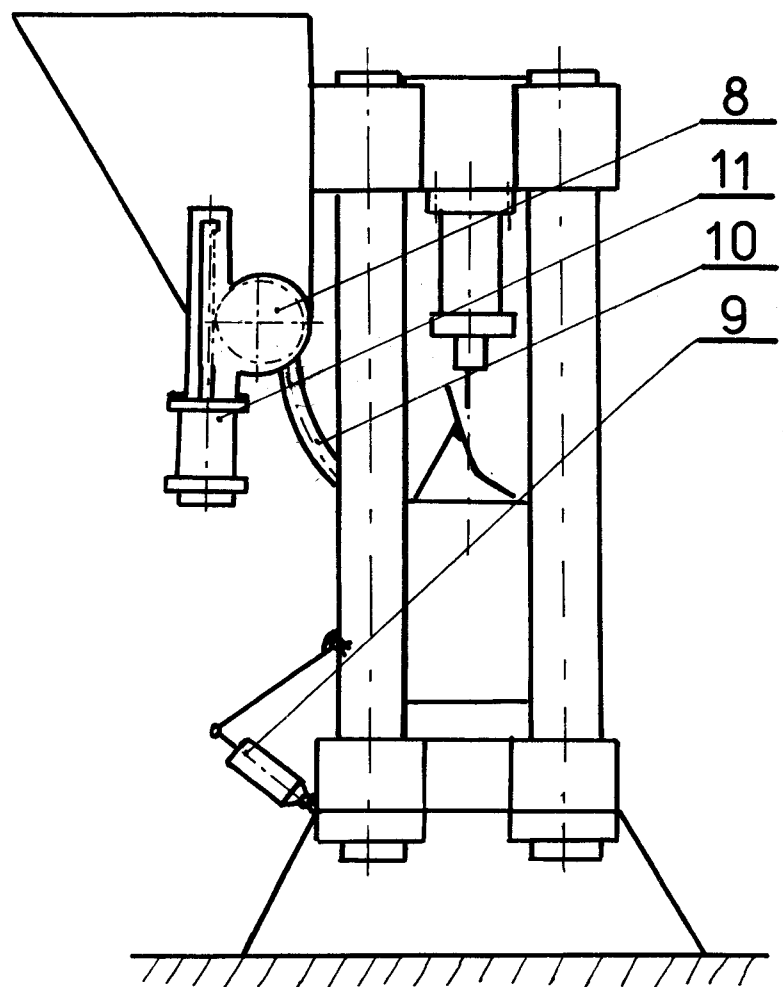
- |                       |                         |
|-----------------------|-------------------------|
| 1 ... centrální sloup | 6 ... zásobník          |
| 2 ... pomocný sloup   | 7 ... stůl              |
| 3 ... horní příčník   | 8 ... hydraulický válec |
| 4 ... podpěrný kolík  | 9 ... tlaková komora    |
| 5 ... kontejner       |                         |

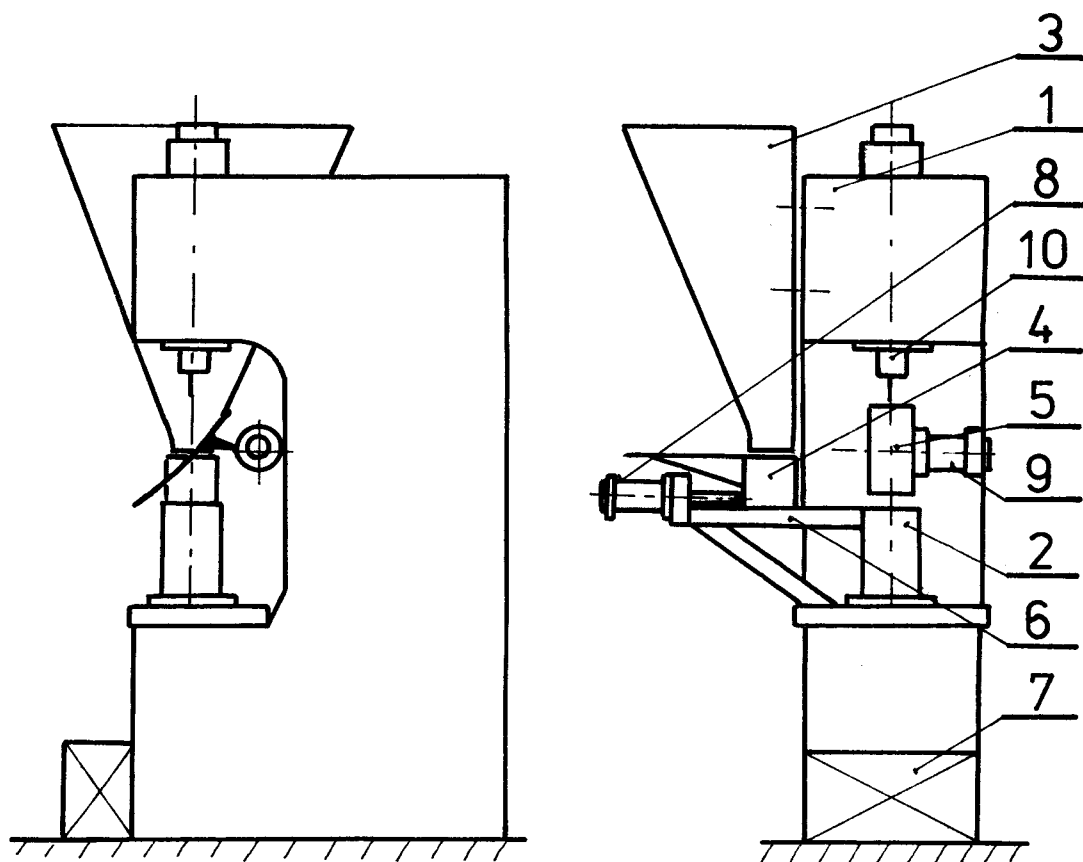
obr. 7



- 1... rám
- 2... zásobník
- 3... tlaková komora
- 4... skluz
- 5... hydraulický válec
- 6... razník
- 7... kontejner
- 8... pastorek s dávkovačem
- 9... hydraulický válec
- 10... hydraulický válec
- 11... trubka

obr. 8





- |                      |                        |
|----------------------|------------------------|
| 1... hydraulický lis | 6... rám               |
| 2... tlaková komora  | 7... kontejner         |
| 3... zásobník        | 8... hydraulický válec |
| 4... zavážecí vozík  | 9... hydraulický válec |
| 5... skluz           | 10... razník           |

obr. 9

pu samotném.

Jak již bylo uvedeno v kapitole 2. 2. dostáváme při jednostranném / oboustranném / lisování různou homogenitu výlisku. Nedostatky těchto způsobů lisování odstraňuje lisování izostatické, ovšem tato technika vyžaduje speciální strojní zařízení a je časově náročnější než běžné lisování.

Některé speciální plastické hmoty / organogely / [8] se pod tlakem chovají jako kapaliny o vysoké viskozitě / kvazi-kapaliny /. Po odlehčení se vlastní pružností vracejí zpět do původního stavu. Poz. porušení snesou stlačení o 60% původní výšky a bez trvalé deformace stlačení o 20% původní výšky. Z tohoto vyplývá, že můžeme nahradit speciální formu a kapaliny příslušící izostatickému lisování organogelem. Lisovaná hmota / keramický prášek / bude i pak tvorována prakticky všeestranným tlakem a to při použití pouze jednoho lisovacího razníku. Lisovací forma z organogelu přebírá jednosměrný tlak razníku lisovacího stroje, přenáší a rozvádí jej tak, že na prášek působí prakticky všeestranný tlak.

Základní vlastnosti plastické hmoty / organogelu / :

- výrikající pružnost
- odolnost proti abrazi
- malá trvalá deformace při opracování s rulačovým v praxi se jako organogel používá vysoko výkonnéj PVC "SCIA-CPL - CS" / výrobce Rohoplast Praha /.

Vlastnosti:

- teplota tání 160 - 180 °C
- tvrdoost 10 ° ShA dle ČSN 62 1404

- tažnost 300 -350%
- $\sigma_{pt}$  1,2 -1,4 MPa dle ČSN 62 1436

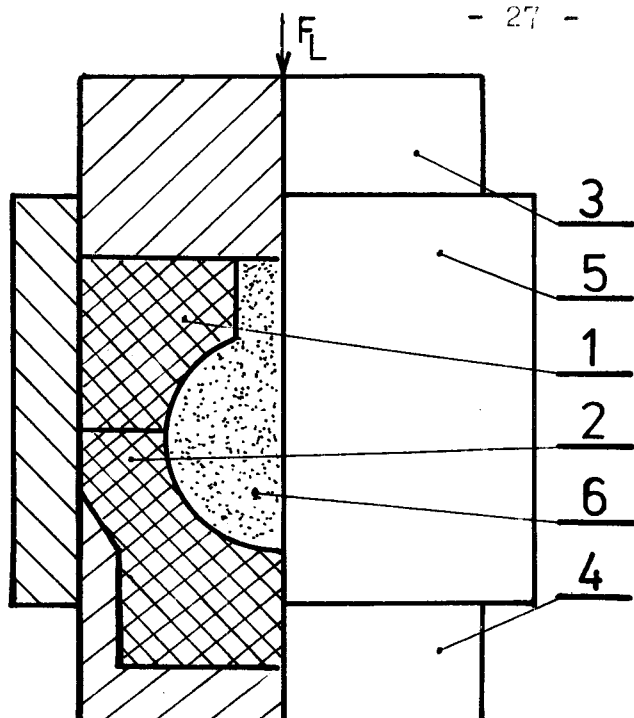
Ternoplastický charakter vinylové pryže dovoluje až desetinásobnou regeneraci. Formy se připravují technikou beztlakového lití roztavené vinylové pryže, která umožňuje snadnou přípravu požadovaných tvarů.

Schema lisovací formy pro čvojsměrné lisování koulí - obr.10. Minimální šířka pružného dílce má být v uvažované partii alespoň polovinou rozměru přilehlého násypného prostoru formy. Pro případ na obr. 10 se při zaliscvání jednosměrným tlakem spojitě deformovala horní pružná vložka formy, uzavřela násypný prostor a tím byl vymezen tvar výlisku.

Mechanická pevnost výlisku je závislá na kvalitě hmoty, podílu vlhkosti a lisovacím tlaku. Kvalita povrchu je poněkud horší než je běžné v lisařské praxi - závisí na velikosti granulí prášku.

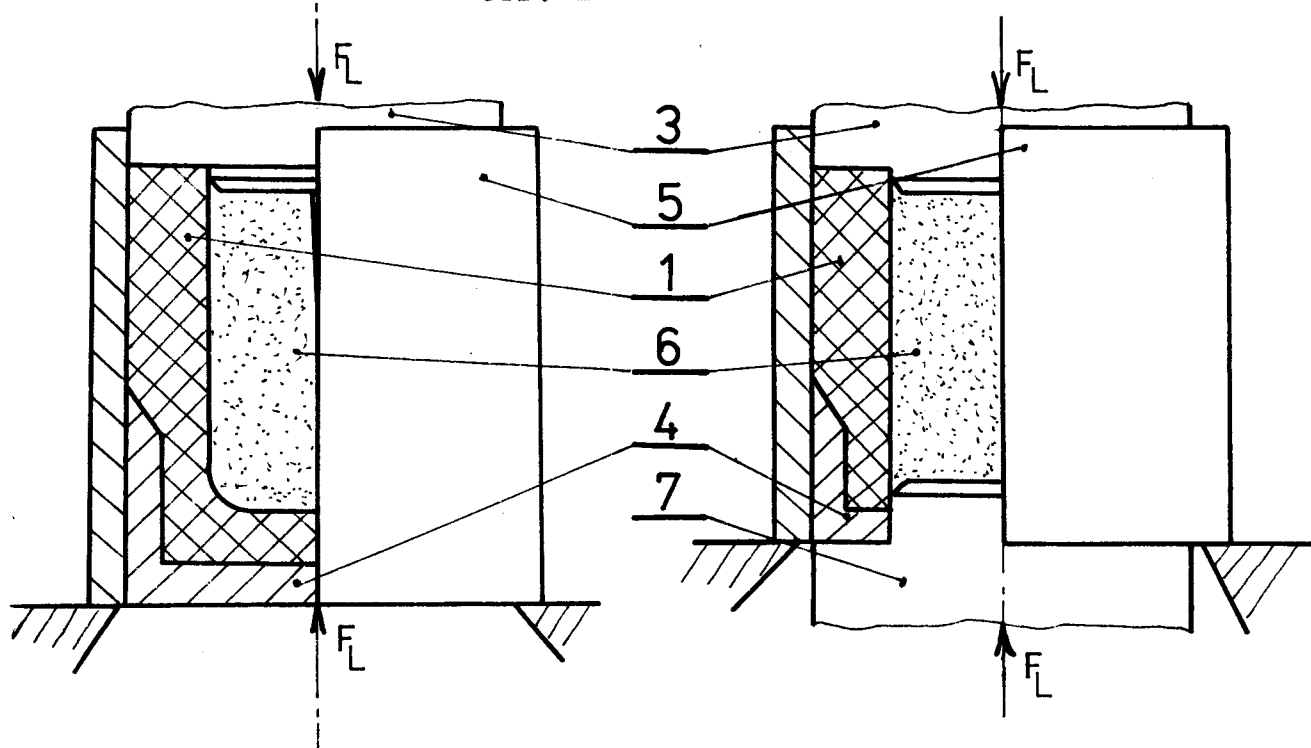
Zpočátku výzkumů kvaziizostatického lisování nebylo zřejmé, zda se tento způsob lisování dá použít v průmyslové výrobě. Pro některé nedostatky, konkrétně rozrušení výlisku elasticním materiálem /vliv adheze/ se uvažovalo pouze o laboratorním použití. V posledních letech se v SSSR podařilo vymyslet takové technologie a materiály [10], které umožňují průmyslové využití kvaziizostatického lisování. Tímto způsobem se v současné době lisují výrobky nejrůznějších tvarů, na příklad koule, plné válce, duté válce, válce se slepou dírou a další.

Pro případ této diplomové práce by bylo nutno vyrobit formu na lisování plných válců - obr. 11 a 12.



- 1... organogelová forma
- 2... organogelová forma
- 3... horní razník
- 4... základna dolního razníku
- 5... ocelový plášť
- 6... prášek
- 7... dolní razník
- $F_L$ ... lisovací síla

otr. 10



obr. 11

obr. 12

Řešení na obr.11 je zřejmě prakticky nerealizovatelné, jelikož při pohybu horního razníku dolů se trn pohybuje týmž směrem, abude pronikat do částečně zhuštěného prášku. Tím by mohlo dojít k destrukci výlisku uvnitř formy.

Jiný možný způsob řešení se nabízí s průchozí formou obr.12. Cba razníky vyvozuji lisovací tlak. Na spodním razníku pak zůstává výlisek, který z něj může být snát na příklad mechanickým odnímačem anebo spodní razník po konstrukční úpravě může plnit funkci výhazovače.

Pro lepší informaci ještě uvedu obecný výpočet minimální tloušťky organogelu pro dosažení potřebného zhutnění. Vycházíme ze sypného objemu formy  $V_{fo}$  pro klasické izostatické lisování. Tento je určen tvarem a rozměry formy. Dále spočteme objem výlisku  $V_v$ .

$$V_v = \frac{V_{fo} \cdot s_o}{s_v} / m^3 /$$

kde  $s_o$  ... sypná hmotnost  $\gamma\text{-Al}_2\text{O}_3 / kg \cdot m^3 /$

$s_v$  ... objemová hmotnost výlisku z  $\gamma\text{-Al}_2\text{O}_3 / kg \cdot m^3 /$

Nyní si můžeme spočítat průměr d výlisku po izostatickém lisování jako  $d = \sqrt{\frac{4 V_v}{\pi h_o}} / m /$ ,  $h_o = h_v / m /$

kde  $h_o$  ... výška formy /m/

$h_v$  ... výška výlisku /m/

Tento výsledek nebude zcela přesný, jelikož výlisek nelze mít přesně válcový tvar, ale vypočteny průměr d můžeme brát jako informativní hodnotu. Tento průměr nás můžeme v dalším výpočtu příliš nejímat. Když ho mohli určit třeba jiným způsobem, je třeba spočítat průměr  $d_2$ , t.j. průměr výlisku po kvaziizostatickém lisování.

$$d_1 = \sqrt{\frac{4Vv}{\pi 0,8 h_0}} /m/$$

kde  $0,8 h_0$  ... výška po max. přípravném stlačení organogelu,  
t.j. o 20% původní /sypné/ výšky.

uvážujeme-li ideální pružné vlastnosti organogelu, pak jeho  
objem před stlačením  $V_0$  a při maximálním stlačení  $V_1$  se za-  
chová .

$$V_0 = V_1$$

$$V_0 = \frac{\pi L \cdot D^2 - d^2 L \cdot h_0}{4} /m^3/$$

$$V_1 = \frac{\pi L \cdot D^2 - d^2 L}{4} \cdot 0,8 h_0 /m^3/$$

kde  $D$  ... vnější průměr formy  $/m/$

$d_0$ ...vnitřní průměr formy před lisováním  $/m/$

$d_1$ ...vnitřní průměr formy při max. tlaku = průměru výlisku  $/m/$

$$D = \frac{d + 0,8d}{0,2}$$

$$t = \frac{D - d}{2} /m/$$

kde  $t$  ... tloušťka stěny formy

Tento výpočet byl proveden pro válcovou dutinu organogelové  
formy.

### 3. 3. Zhodnocení a výběr optimální varianty.

Jako hlavní kriteria při výběru nejvhodnější varianty  
byla brána jednoduchost konstrukce, dostupnost zařízení, na  
kterém je vlastní izostatický lis přimontován a splnění všech  
požadovaných úkolů. Výhody a nevýhody jednotlivých alternativ  
jsou rozebrány v následujícím textu.

U alternativy 3. 2. 1. /karuselové uspořádání/ odr. 7  
odpadá plnící zařízení formy, jelikož tlaková větve s for-  
mou najíždí pod násypku sara, a není třeba ani skluz, protože

výlisky padají rovnou do kontejneru. Bylo by třeba vyřešit uzavírání násypky v době, kdy pod ní nestojí tlaková komora. Výkon této alternativy by byl vyšší ve srovnání s ostatními pro stejný objem forem. Problémy bude činit centrální rozvod tlakové kapaliny. Navíc se bude muset konstrukčně zpracovat i pohon stolu. Z toho vyplývá, že celé toto zařízení by se muselo zvlášt vyrábět a to by vzhledem k práci, kterou má konat, nebylo ekonomické.

Alternativa 3. 2. 2. / řadové uspořádání / obr.8.

Koncepčně vychází z hydraulického lisu firmy Dorst /NSR/. Celá konstrukce lisu je jednodušší než v případě 3. 2. 1., ovšem lisy tohoto typu nejsou v ČSSR vyráběny, a tak by se celé zařízení opět muselo vyrábět kompletně od základu nebo situaci řešit dovozem z NSR, což je opět pro daný účel neekonomické. Vyšší počet uzavíracích válců a forem sice zvýší výrobnost zařízení, ale stoupnou též náklady a to je další faktor, který hovoří proti této variantě.

Alternativa 3. 2. 3. /jednopozicové uspořádání/ obr.9.

Pro účel, které má zařízení plnit je toto konstrukční uspořádání plně postačující.

1/ Ze všech dosavad uvedených má nejjednodušší konstrukci.

2/ I s nepříliš velkou formou zpracuje požadované množství prášku za směnu.

3/ Hydraulický lis, na kterém je namontován lis izostatický a pomocná zařízení se pro požadovanou sílu na píst, vyrábí sériově. Z toho vyplývá, že celé zařízení vyjde cenově nejlevněji.

Alternativa 3. 2. 4. /kvaziizostatický lis/ obr.10,12.

Plastická hmota organogel s ocelovým pláštěm formy nahrazuje tlakovou kororu a kapalinu při normálním izostatickém lisování.

Razník hydraulického lisu uzavírá formu a zároveň vyvozje potřebný lisovací tlak.

Větší výrobnost oproti izostatickému lisu.

Cdpadá cdtěsnění kapaliny.

Značně levnější oproti izostatickému lisu.

Vyjímání nelze provádět na trn, ale např. poroci vyhazovače a odnímače.

Nepříjemný vliv adheze prášku na stěnu formy.

Poměrně mladá technologie, a proto nejsou tak velké zkušenosti.

Největší nevýhodou pro nás případ je nutnost velké tloušťky stěny formy, abychom dostali potřebné zhuťnění při povoleném stlačení o 20%  $h_c$ , protože prášek  $\gamma-Al_2O_3$  má malou sypnou hmotnost.

Tato varianta přes své značné výhody, přesto nebyla zvolena, a to hlavně pro poslední nedostatek a již známé malé praktické zkušenosti.

Porovnáním jednotlivých variant bylo rozhodnuto použít pro další konstrukční zpracování alternativu 3. 2. 3.

#### 4. Konstrukce, rozostatnícké lisy a příslavných zařízení.

##### 4. 1. Projektový návrh zařízení.

Uspořádání jednotlivých výkonných mechanismů zařízení je znázorněno na obrázku 13.

Tvoří ho:

- hydraulický lis
- izostatický lis
- plnící vozík
- skluz
- zásobník prášku
- zásobník výlisek
- hydraulický válec pohonu vozíku

Hydraulický lis tvoří základní rám celému zařízení a zároveň na pístnici je připevněn razník s vynášecím trnem. Jak už bylo uvedeno v předchozí kapitole, konstruovat nový hydraulický lis by bylo neekonomické, a proto bylo rozhodnuto použít některý stávající hydraulický lis československé výroby. Pchužel sortiment hydraulických lisů využívajících sílu okolo 100 kN je podle katalogu velice úzký a prakticky žádný. Přesto byly vybrány dva lisy, které na první pohled splňovaly požadavky na ně kladené. A to hydraulický lis CDM 80 a CDM 10 /výrobce Slkostroj Turnov k.p./. Při bližším prozkoumání bylo však zjištěno, že lis CDM 10 se již nevyrábí a CDM 80 nevyhovuje zejména pro malý zdvih.

Po konzultaci se soudruhy z k.p. Sklostroj Turnov, mi byl zapůjčen materiál od firmy VEE Werkzeugmaschinen Zeulenroda v NDR, která vyrábí hydraulické lisy různých typů. Vybral jsem lis FYE 10 N, který vyhovoval všem požadavkům na něj kladeným.

Izostatický lis se skládá z tlakové rádoby, dále z prýžové formy, prýžové matrice a z perforovaného plechového kože. Forma je zajištěna proti vytažení kroužky a tý jíscu k ní přitlačeny středním víkem, které je přišroubováno na tlakovou nádoba. Tlaková kapalina je přiváděna vysokotlakou hadicí o světlosti 10 mm a pomocí šroubení do prostoru tlakové rádoby.

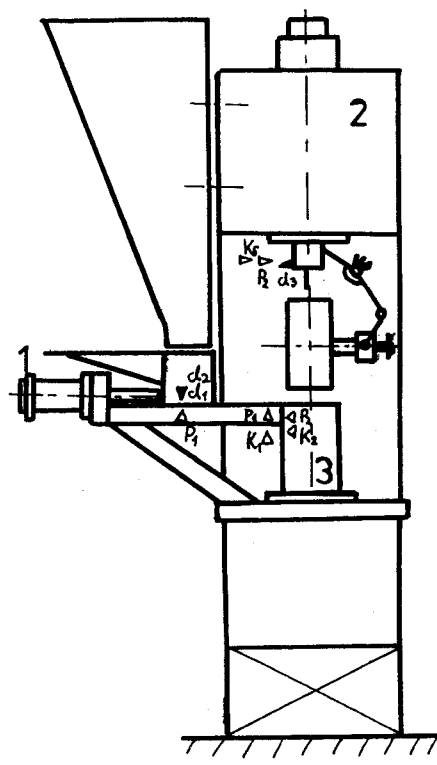
Plnící vozík zajišťuje plnění formy práškem a pomocí plechu uzavírání násypky.

Skluz plní funkci doprovody výlisků do kontejneru. Hydraulický válec umožňuje pohyb plnícího vozíku i prostoru pod násypkou nad formou a zpět.

#### 4. 1. 1. Rozbor pracovního cyklu.

Pracovní cyklus zařízení je znázorněn obrázku 14. Na tomto obrázku jsou průběhy zdvihu válce, průběh tlaku v tlakové konci a jejich časová posloupnost. Dále jsou na obr. 13 i 14 schematicky znázorněny jednotlivé koncové příradače, pomocí nichž je řízena činnost rozvaděčů jednotlivých výlisek a tlakové komory, a dorazy, které koncové příradače ovládají.

Pracovní cyklus celého zařízení je následující:  
Po spuštění elektrického ovládacího okruhu, který ještě bude popisán v kapitole 4. 1. 3., hydraulický válec i začne přesouvat plnící vozík k formě. Při pohybu vozíku na formou



obr. 13

1... hydraulický válec

2... hydraulický válec

3... tlaková komora

K<sub>1</sub>...koncový spinač válce 1  
/válec 2 dolů/

K<sub>2</sub>...koncový spinač válce 2  
/tlakování/

K<sub>3</sub>...koncový spinač válce 2  
/nový cyklus/

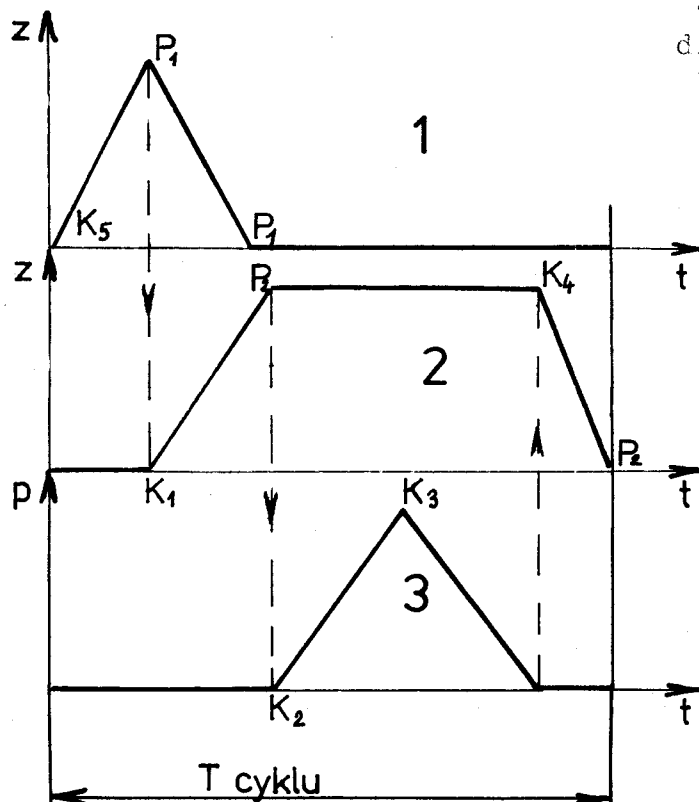
P<sub>1</sub>...přepinač válce 1

P<sub>2</sub>...přepinač válce 2

d<sub>1</sub>...doraz

d<sub>2</sub>...doraz

d<sub>3</sub>...doraz



z... závlahy hydraulických  
válců /m/

p... tlak /MPa/

t... čas /s/

T... čas jednoho cyklu  
/periode/

obr. 14

z něj padá prášek a plní ji. V zadní poloze se přepne přepinač P1, tím se vozík uvede do zpětného pohybu a koncový spinač K1, čímž se přivede do činnosti válec 2 /PYE 10 N/. Na pístnici tohoto válce je připevněn razník. Píst válce 2 se pohybuje dolů a pomocí razníku uzavře naplněnou formu. V dolní poloze přepne přepinač P2, čímž je píst válce 2 v této poloze blokován a koncový spinač K2, který umožní přivedení tlakové kapaliny do tlakové komory 3 izostatického lisu. Probíhá lisování prášku. Tlak kapaliny je sledován kontaktním manometrem MK, který při dosažení požadovaného tlaku 12 MPa sepne spinač K3 a tlaková kapalina začne odtékat zpět do nádrže. Je-li v tlakové koroře nulový přetlak kontaktní manometr MK spíná spinač K4, který umožní zpětný pohyb pístu válce 2. Na trnu, který je součástí pístnice je vynášen výlisek z formy. Je-li dolní konec výlisku v dostatečné výšce nad tlakovou komorou 3 uvádí se do pohybu skluz. Je ovládán mechanicky v závislosti na pohybu razníku nahoru a na zpět je vracen pružinou. V okamžiku, kdy se horní konec razníku dotkne čela válce je skluz již ve funkční poloze. Pístnice pak ještě pokračuje cca 5 mm v pohybu a to už oční sejmoutí výlisku z trnu. /Trn se pohybuje s pístnicí - zasouvá a razník stojí./ Výlisek pak padá na předsunutý skluz, z něj na pevný skluz a odtud do zásobního kontejneru nebo na dopravník, který ho odváží k dalšímu zpracování. Pohyb pístu válce 2 je zastaven přepinačem 12. Nový cyklus začne buď opět ručním spuštěním ovládacího obvodu nebo koncovým spinačem K5, který je ovládaný od válce 2 a vykoná totéž. Jelikož skluz stojí nad formou a plnící vozík tam přijíždí

s novou zavážkou, je skluz konstruován tak, že si ho vozík sám odstrčí aniž by razník musel popojet dole.

#### 4. 1. 2. Řešení pracovního obvodu.

Navrhovaný pracovní obvod je tvořen okruhem vysokotlakým, který realizuje operaci vlastního izostatického liscování a okruhem nízkotlakým, který realizuje zbývající operace pracovního cyklu.

##### Vysokotlaký okruh:

Jako zdroje tlaku pro tento okruh je použito hydraulického agregátu lisu PYE 1C N. Je nanejvýš pravděpodobné, že hydraulický agregát lisů této řady je schopen vytvářet tlak vyšší jak 20 MPa. Proto dále neuvažuji se zvláštním hydraulickým agregátem pro pohon izostatického lisu. Do obvodu se pouze zařadí příslušný redukční ventil s regulací, který dovolí v tlakové komoře užití špičkového tlaku 12 MPa. Průběh nárůstu a poklesu tlaku není nijak řízen, jelikož to z hlediska dalšího upotřebení výlisku není nutné. Funkci otvírání a zavírání přívodu tlakové karafily plní dvoupolohový třícestný rozvaděč R3 ovládaný do jedné polohy elektromagneticky a zpět pružinou. Součástí vysokotlakého okruhu je ještě kontaktní manometr MK / výrobce Chirana, závody zdrav.techniky o.p. Staré Turá /.

##### Nízkotlaký okruh:

Návrh nízkotlakého okruhu vycházel ze závislosti operací, které jsou předepsány pracovním postupem. Při řešení byl pracovní cyklus rozdělen na elementární pohyby pracovních válců, které již byly popsány v kapitole 4. 1. 1. Ještě jenžou uvedu jejich pořadí.

- 1/ píst válce plnícího vozíku vpravo
- 2/ píst válce plnícího vozíku zpět a zároveň píst válce hydraulického lisu PYE 10 N dolů
- 3/ izosta tické lisování
- 4/ cdtlakování
- 5/ píst hydraulického lisu nahoru

Reverzace a blokování pohybů každého válce je řešena užitím čtyřcestného třípolohového rozvaděče R, který na obr. 15 v poloze 0 blokuje pohyb pístu válce V. Při přestavení rozvaděče R do polohy 1 se píst pohybuje nahoru, při přestavení do polohy 2 pak dolů. Časový průběh zdvihu válců obr. 14 je řízen škrcením proudu na výtoku pomocí ventilů VS. Zde musím ještě poznamenat, že u hydraulického lisu PYE 10 N nejsou známy ovládací prvky / rozvaděč / ani prvky k řízení časového průběhu /škrtící ventily /, proto je bude předpokládat stejné jako u válce 1.

K řízení činnosti nízkotlakého hydraulického okruhu byl navržen elektrický impulsový řídící systém s časově pružnou vazbou, to znamená, že podmínkou pokračování cyklu je dokončení předchozího pohybu. Podle obr. 15 se válec V začne pohybovat dolů až po sepnutí koncového spinače Y1 se samočinným návratem /např. dorazem na pístnici válce uskutečňujícího předchozí operaci/, který uzavře okruh elektromagnetu E1 a zajistí tak přestavení rozvaděče R do polohy 1. V dolní poloze válec V dorazem přepne přepínač 1 a rozpojí okruh elektromagnetu E1, rozvaděč R se přestaví do polohy 0 a válec V je blokován v dolní poloze až do okamžiku sepnutí koncového spinače Y2.

Sestavování ovládacího okruhu obr. 16, bylo prováděno na základě principu ovládání z obr. 15. V tomto prvotním schématu ovládacího okruhu byla také předběžně navržena návaznost činnosti nízkotlakého a vysokotlakého okruhu. Aplikace uvedeného zapojení ovládacího obvodu, která by byla provedena bez jakékoli úpravy, je zcela jednoznačně nevyhovující, a proto je nutné elektrický ovládací obvod zdokonalet.

Kmitání válce plnicího vozíku 1 mezi krajními polohami, ke kterému by nutně v daném případě došlo, bylo odstraněno užitím spínacího relé Re1 obr. 17.

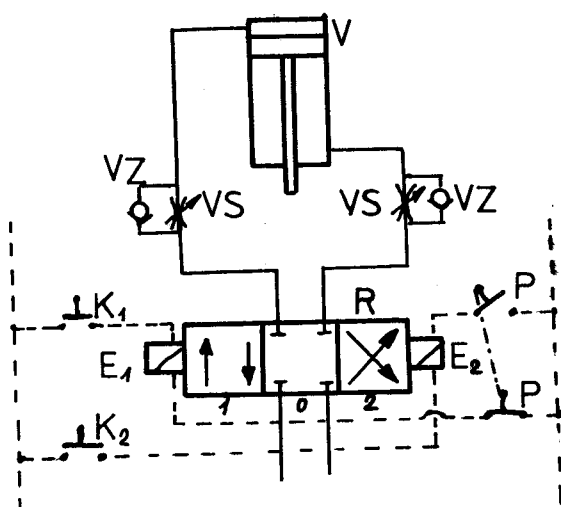
Správná funkce válce uzavírání 2 byla vyřešena opět zapojením spínacího relé Re2 v okruhu elektromagnetu E21 a zapojením relé se zpožděným přítahem Re4 v obvodu elektromagnetu E22 obr. 18.

Konečně ovládací obvod tlakové komory jehož řídí počátek a konec tlakování musí být doplněn o spínací relé Re3 obr. 19.

Na základě schemat /obr. 16- 19/ byl sestaven elektrický ovládací okruh, který je popsán liniovým schématem obr. 20.

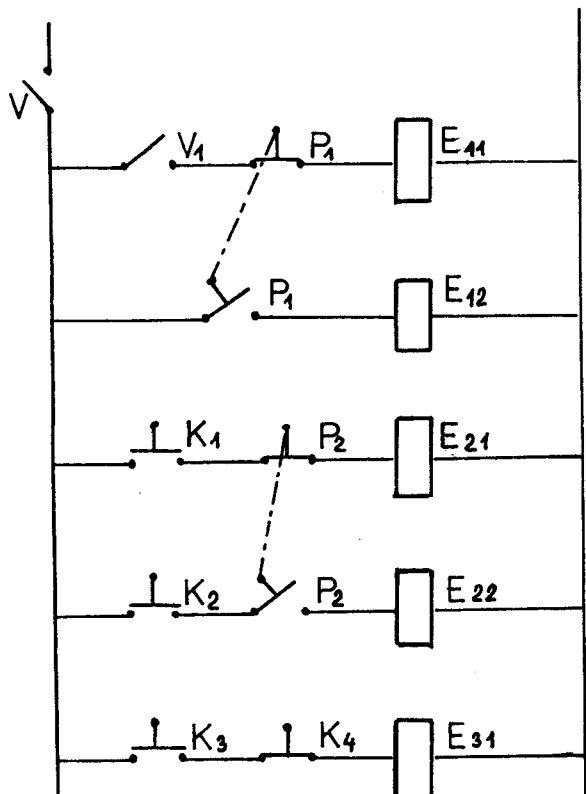
Hydraulický výkonný okruh, který je popsán schématem na obr. 21, byl sestaven podle požadovaných funkcí, které má plnit. Dále se vycházelo ze skutečnosti, že uzavírání formem se bude provádět pomocí válce hydraulického lisu FYE 10 N a tlakovou kapalinu k pohonu ostatních hydraulických prvků / včetně tlakové komory /, bude dodávat hydraulický agregát již výše zmíněného lisu.

Rozměry válce 1 - plnicího vozíku:



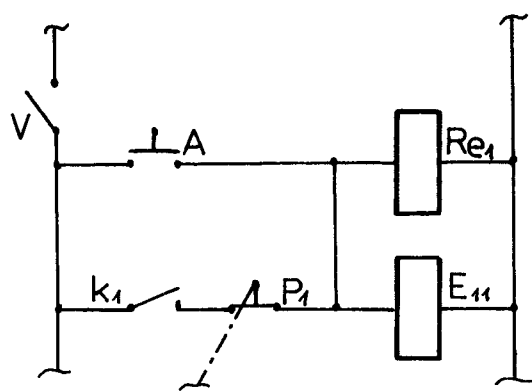
V... válec  
VS... škrťící ventil  
VZ... blokovací ventil  
R... rozvaděč  
E<sub>1,2</sub>... elektromagnety  
K<sub>1,2</sub>... koncové spinače  
P... přepinač

obr. 15



V... hlavní vypínač  
V<sub>1</sub>... vypínač "start-stop"  
P<sub>1</sub>... přepinač dávkovače  
P<sub>2</sub>... přepinač uzavírání  
K<sub>1</sub>... koncový spinač /uzavřít/  
K<sub>2</sub>... koncový spinač /otevřít/  
K<sub>3</sub>... koncový spinač /tlakování/  
K<sub>4</sub>... koncový spinač /odtlakování/  
E<sub>11</sub>... elmagnez rozvaděče 1 /pohyb vpřed/  
E<sub>12</sub>... elmagnez rozvaděče 1 /pohyb vzad/  
E<sub>21</sub>... elmagnez rozvaděče 2 /pohyb dolů/  
E<sub>22</sub>... elmagnez rozvaděče 2 /pohyb nahoru/  
E<sub>31</sub>... elmagnez rozvaděče 3 /tlakování/

obr. 16



obr. 17

V... hlavní výprináč

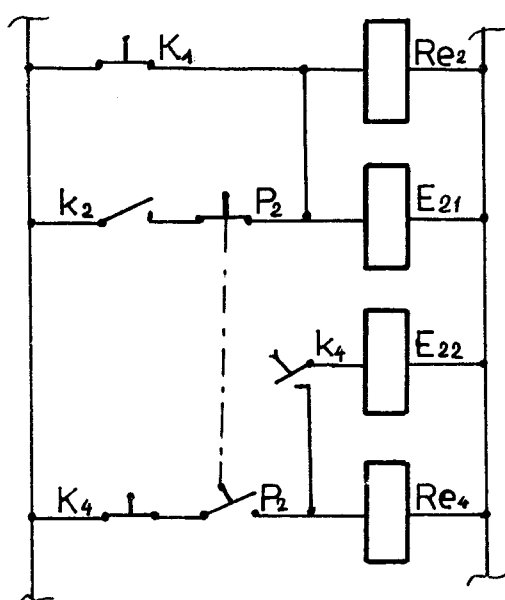
A... ruční tlačítka

P<sub>1</sub>...přepínač

Re<sub>1</sub>...spínací relé

k<sub>1</sub>...kontakt relé

E<sub>11</sub>...elektromagnet



obr. 18

I<sub>1</sub>...kercový spínací  
/uzavírání/

Y<sub>4</sub>...koncový spínací  
/otevření/

P<sub>2</sub>...přepínač výložky 2

Re<sub>2</sub>...spínací relé

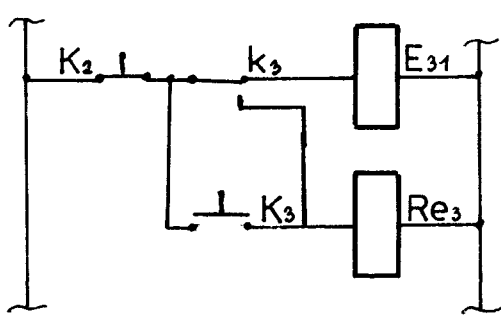
k<sub>2</sub>...kontakt spínacího relé

k<sub>4</sub>...relé se zpožděným přítahem

k<sub>4</sub>...kontakt relé Re<sub>4</sub>

E<sub>21</sub>...elektromagnet  
/uzavírání/

E<sub>22</sub>...elektromagnet  
/otevření/



obr. 19

K<sub>2</sub>...koncový spínací  
/tlakování/

K<sub>3</sub>...koncový spínací  
/odtlakování/

Re<sub>3</sub>... spínací relé

k<sub>3</sub>...kontakt relé

E<sub>31</sub>...elektromagnet  
/tlakování/

Průměr válce je volen  $d = 25 \cdot 10^{-3}$  m.

Potřebný zdvih je  $L = 305 \cdot 10^{-3}$  m, přičemž hodnota zdvihu je zajištěna dorazy.

Nízkotlaký okruh je tvořen těmito dílčími obvody:

- obvod pohonu zavážecího vozíku
- obvod uzavírání a otevření forem

Vysokotlaký okruh je tvořen obvodem tlakové komory.

Vazby mezi vysokotlakým a nízkotlakým okruhem i uvnitř okruhu nízkotlakého jsou zajištěny impulsovým způsobem s časově pružnou vazbou.

#### 4. 1. 3. Popis činnosti navrženého pracovního obvodu.

Popis činnosti pracovního obvodu je proveden podle obr. 20 a obr. 21.

Zapneme hlavní vypinač V. Tím se přivede el. proud do ovládaného obvodu, rozsvítí se žárovka Z0.

Krátkým stisknutím tlačítka poloautomatického provozu A, se uvede do činnosti relé Rel. Kontakt relé k1 sepne a uzavře okruh elektromagnetu E11. Žárovka Z1 se rozsvítí. Rozvaděč R1 se přestaví do polohy 1. Tlaková kapalina proudí za píst válce 1 a ten se začne vysouvat. Pístnice válce 1 je spojena s vozíkem a posouvá ho nad formu. Vozík při pohybu nad formou ji naplní práškem. Pohyb vozíku vpřed končí, jakmile doraz d1 přepne přepinač P1.

Po přepnutí přepinače P1 se přeruší okruh elektromagnetu E11 a uzavře se okruh elektromagnetu E12. Žárovka Z1 zhasne a žárovka Z2 se rozsvítí. Rozvaděč R1 se přestaví z polohy 1 do polohy 2. Nastává zpětný pohyb vozíku. V okamžiku, kdy je vozík pod násypkou, zastaví jeho pohyb opět doraz d1,

který přepne přepinač P1. Přeruší se okruh elektromagnetu E12. Pružina vrátí rozvaděč z polohy 2 do polohy 0. Žárovka Z2 zhasne.

V poloze, kdy je vozík nad formou, zároveň doraz d2 spíná koncový spinač K1. Tím se uvede do činnosti relé Re2. Kontakt relé k2 sepne a uzavře okruh elektromagnetu E21. Rozsvítí se žárovka Z3. Rozvaděč R2 se přestaví z polohy 0 do polohy 1. Válec 2 hydraulického lisu PYE 10 F se uvede v činnost. Razník upevněný na pístnici tohoto válce jede dolů a těsně uzavře formu. Jeho pohyb je zastaven dorazem d3, který přepne přepinač P2.

Pomocí přepinače P2 se přeruší okruh elektromagnetu E21. Žárovka Z3 zhasne. Pružina vrátí rozvaděč R2 do polohy 0. Razník je fixován v dolní poloze.

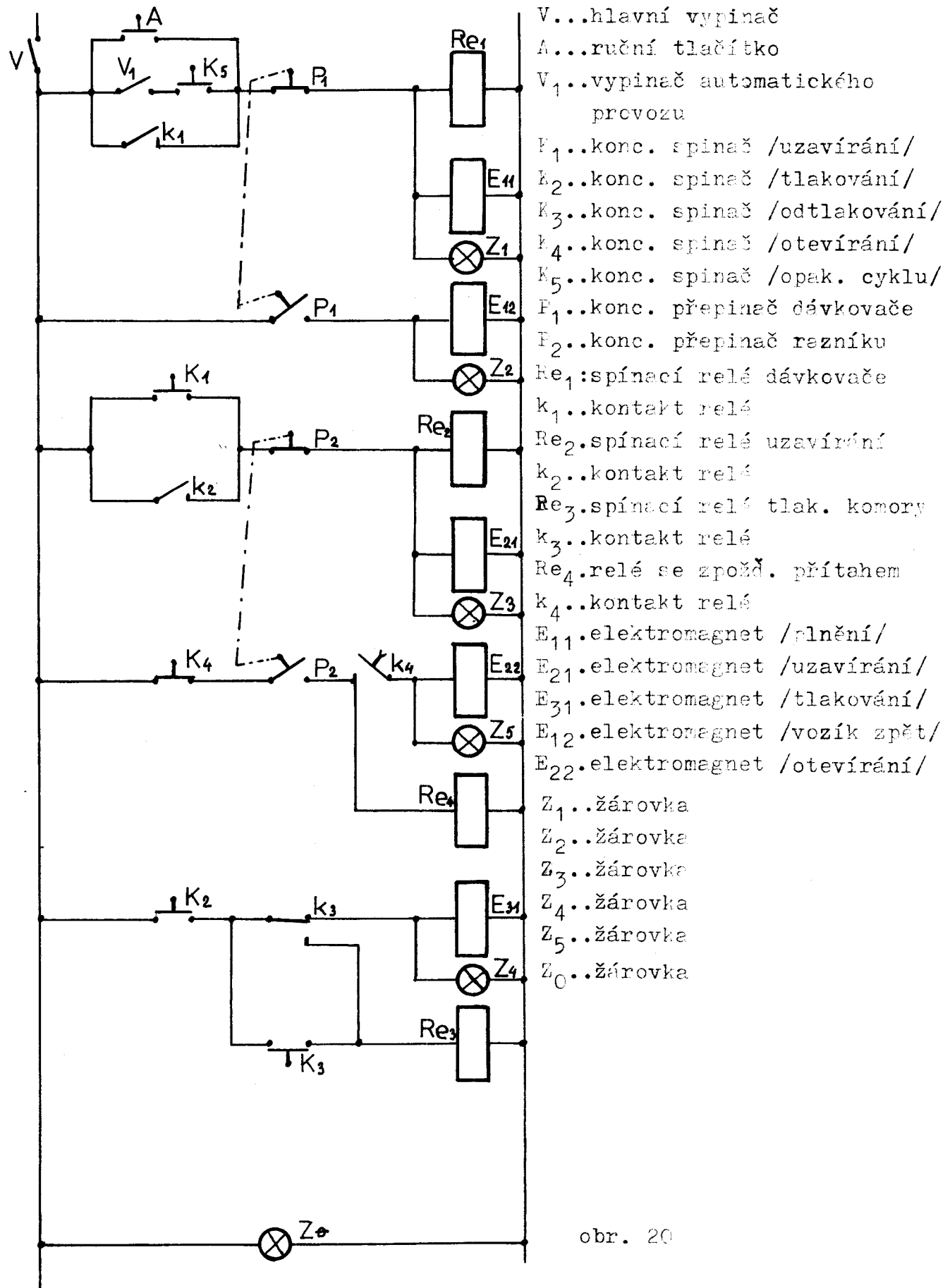
Ve spodní krajní poloze zároveň doraz d3 spíná koncový spinač K2, ten uzavře okruh elektromagnetu E31. Rozsvítí se žárovka Z4. Rozvaděč R3 se přestaví do polohy 1 a tlaková kapalina proudí do tlakové komory. Při dosažení tlaku 12 MPa sepne kontaktní manometr MK spinač K3, ten uzavře okruh relé Re3. Kontakt relé k3 sepne a přeruší okruh elektromagnetu E31. Pružina přestaví rozvaděč R3 do polohy 0. Žárovka Z4 zhasne. Tlaková kapalina odteká z tlakové komory a tlak klesá.

Při nulovém přetlaku sepne kontaktní manometr MK spinač K4, tak se uvede v činnost relé se zpožděným přítahem Re4. Kontakt k4 uzavře okruh elektromagnetu F22. Rozsvítí se žárovka Z5. Rozvaděč R2 se přestaví do polohy 2 a píst s razníkem vyjíždí nahoru. Na trnu je z formy vynášen vý-

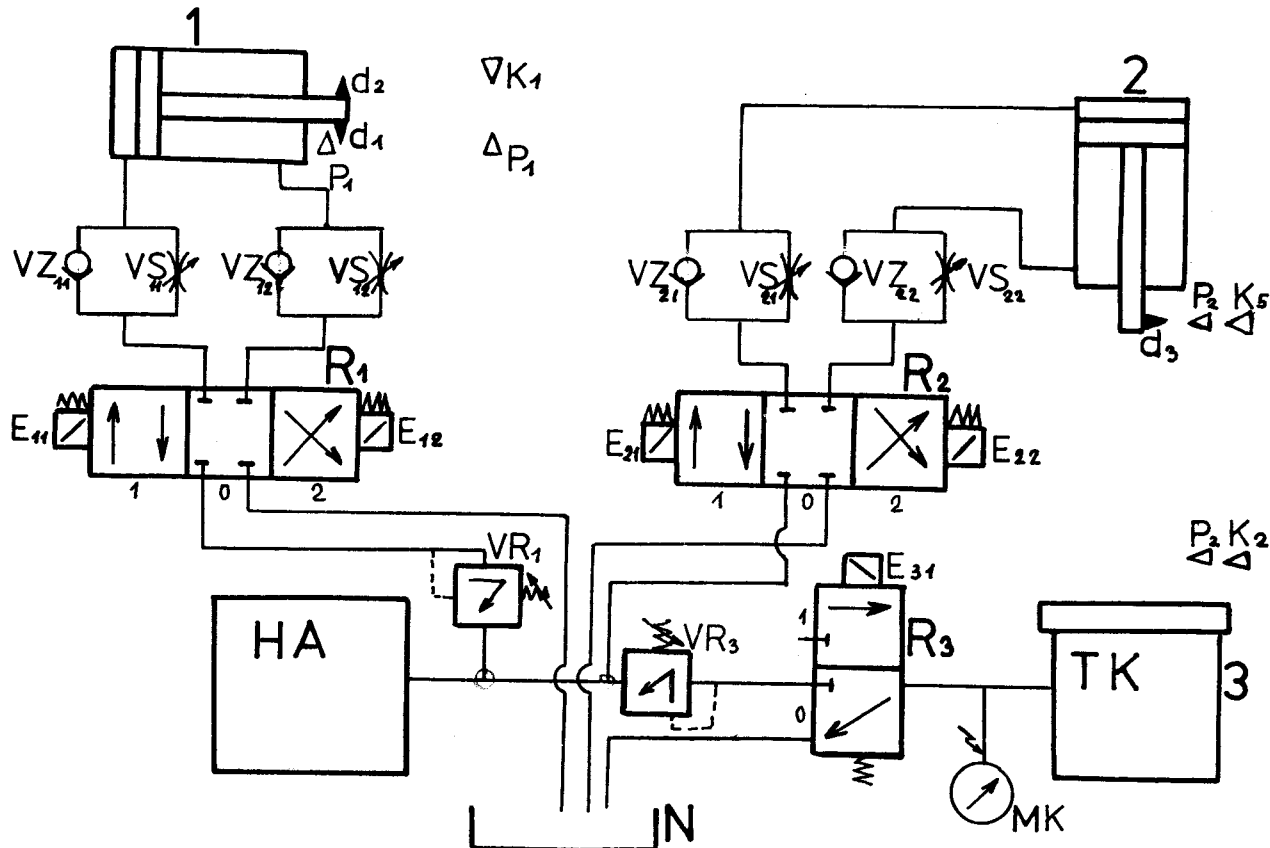
lisek. V závislosti na pohybu razníku přijíždí pod výlisek skluz. Pouzdro razníku se opře o čelo válce a pístnice s trnem se ještě posune. Výlisek je sejmout z trnu. Pohyb pístnice je zastaven dorazem d3, který přepne přepinač E2. Přeruší se okruh elektromagnetu E22. Žárovka Z5 zhasne. Rozvaděč R2 je pružinou přestaven do neutrální polohy 0. Píst válce 2 je blokován v horní poloze. Tímto je ukončen jeden pracovní cyklus. Další cyklus může začít až po stlačení tlačítka A.

Z popisu je zřejmé, že pracovní obvod, ovládaný tímto způsobem, vykoná jeden pracovní cyklus automaticky po stlačení tlačítka A. Tohoto způsobu automatického řízení jednoho cyklu se použije při seřizování celého zařízení / nastavení průtoku na škrtících ventilech /.

V praktickém provozu, ale potřebujeme, aby po skončení jednoho cyklu začal automaticky další. Toho docílíme tak, že zapneme vypinač automatického provozu V1, a pak se přes koncový spinač K5 uzavře okruh elektromagnetu E11 rozvaděče R1. Koncový spinač K5 je sepnut dorazem d3 v horní poloze. Všechny následující operace proběhnou návazně jako v předchozím popisu, až do chvíle, kdy válec 2 vyjede do horní polohy a doraz d3 spíná koncový spinač K5. Okamžitě začíná nový cyklus pohybem válce 1. Po vypnutí vypinače V1 se činnost obvodu zastaví po dokončení právě probíhajícího cyklu.



obr. 20



1...válec zavážecího vozíku

2...válec uzavírání

3...TK - tlaková komora

HA...hydraulický agregát

N...nádrž

R<sub>1</sub>...rozvaděč válce 1

R<sub>2</sub>...rozvaděč válce 2

R<sub>3</sub>...rozvaděč TK

MK...kontaktní manometr

P<sub>1</sub>, P<sub>2</sub>...přepinače

d<sub>1</sub> - d<sub>3</sub>...dorazy

/byly použity přepinače a spinače typu 96 901 a 96 902  
výrobce ZPA Nový Bor/

VZ...zpětné ventily

VS...škrtící ventily

VR...redukční ventily

E<sub>11,12</sub>... elektromagnety  
rozvaděče R<sub>1</sub>

E<sub>21,22</sub>... elektromagnety  
rozvaděče R<sub>2</sub>

E<sub>31</sub>... elektromagnet  
rozvaděče R<sub>3</sub>

K<sub>1</sub> - K<sub>5</sub>...konc. spinače

#### 4. 2. Konstrukční řešení jednotlivých částí.

##### 4. 2. 1. Hydraulický lis PYE 10 N. / obr. 22 /

Technické údaje k hydraulickému lisu PYE 10 N:

Jmenovitá lisovací síla ... 100 kN

Síla zpětného zdvihu ... 21 kN

Rychlosť beranu při pohybu dolů ... 0,04  $m\ s^{-1}$

Rychlosť beranu při pohybu nahoru ... 0,2  $m\ s^{-1}$

Zdvih regulovatelný až do ... 400 mm

Vyložení ... 250 mm

Vestavný prostor ... 630 mm

Šířka x délka stolu ... 500 x 400 mm

Výška stolu nad podlahou ... 710 mm

Šířka lisu v základním provedení ... 800 mm

Hloubka lisu v základním provedení ... 1150 mm

Výška lisu v základním provedení ... 2150 mm

Příkon stroje ... 2,2 kW

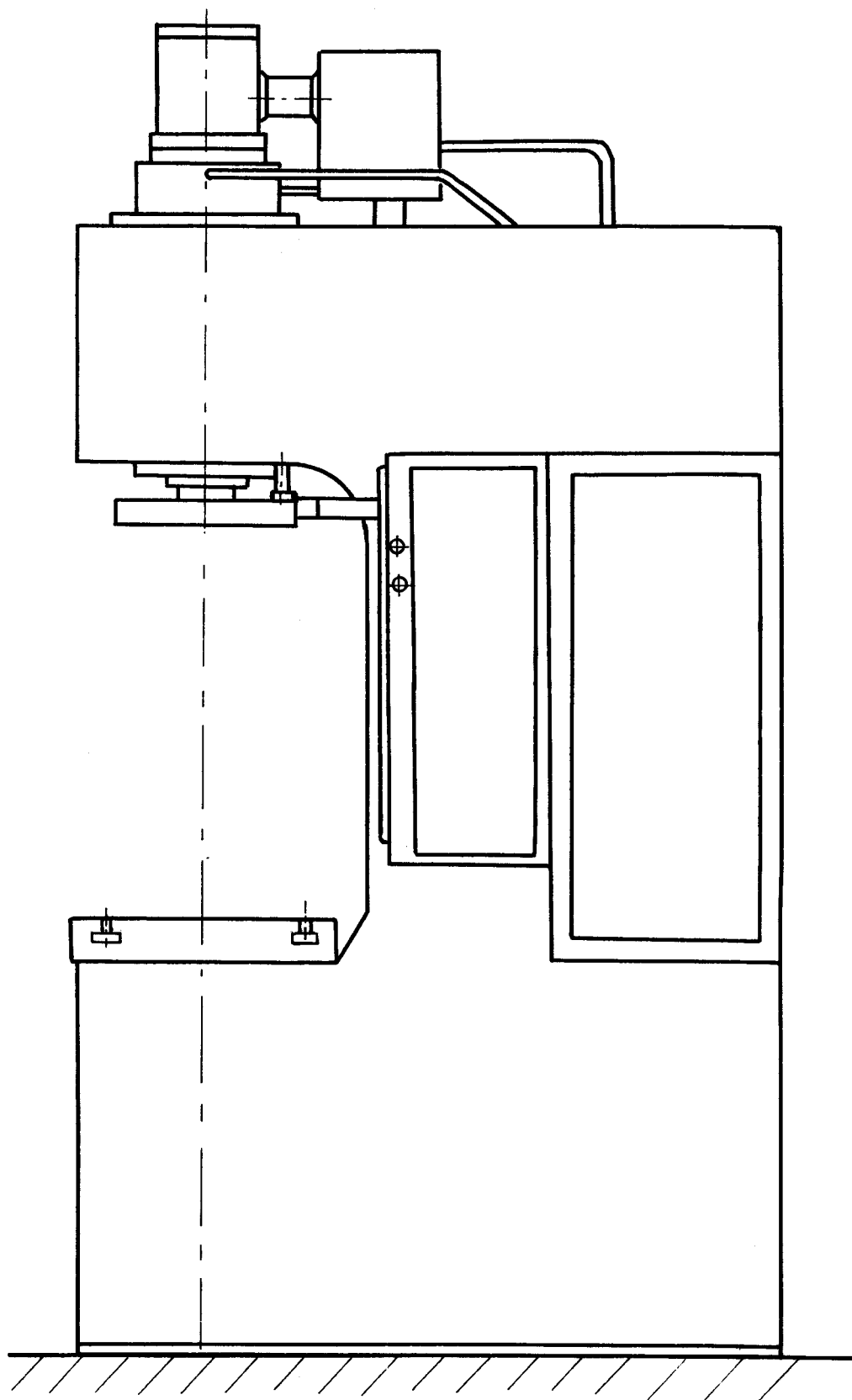
Hmotnost lisu ... 1100 kg

Lisy PYE 10 N se vyrábějí jako universální hydraulické lisy.

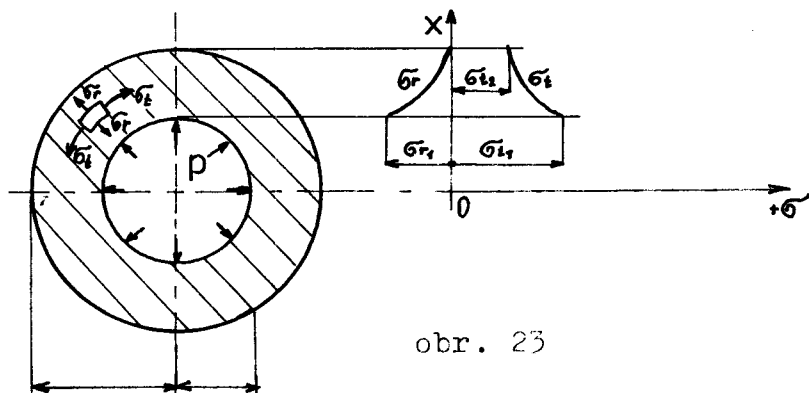
K jejich kladům patří spolehlivost, bezporuchovost, modernost konstrukce.

##### 4. 2. 2. Výpočet tlakové nádoby [3] obr. 23

Tlaková nádoba je konstruována jako svařecí dna a výlevové stěny. Nahoře je pak do čela stěny přišroubováno víko, které uzavírá plášt formy, matrici a ochranný koš uvnitř nádoby. Celá tlaková nádoba je přišroubována percií šroubů s "T" hlavou k desce stolu. ke zhotovení tlakové nádoby, víko i dna se použije ocel 13 220.



obr. 22



obr. 23

Pro napětí působící v tlakové nádobě platí [3]:

$$\sigma_{t1} = \frac{p \cdot \frac{r^2 + R^2}{R^2 - r^2}}{} / \text{MPa} /$$

$$\sigma_{t2} = -\frac{2 \cdot p \cdot r^2}{R^2 - r^2} / \text{MPa} /$$

$$\sigma_r = -p / \text{MPa} /$$

$$\sigma_o = 0 / \text{MPa} /$$

Je-li nádoba uzavřena vzniká též osové napětí v příčných řezech / osové napětí /.

$$\sigma_o = \frac{p \cdot r^2}{R^2 - r^2} / \text{MPa} /$$

Pro hodnoty:

$$p = 12 \text{ MPa} \quad \sigma_t \dots \text{tečné napětí}$$

$$r = 0,065 \text{ m} \quad \sigma_r \dots \text{radiální napětí}$$

$$R = 0,079 \text{ m} \quad \sigma_o \dots \text{osové napětí}$$

je napětí:  $\sigma_t = 62,3 \text{ MPa}$   $\sigma_r = -12 \text{ MPa}$   $\sigma_o = 25,2 \text{ MPa}$

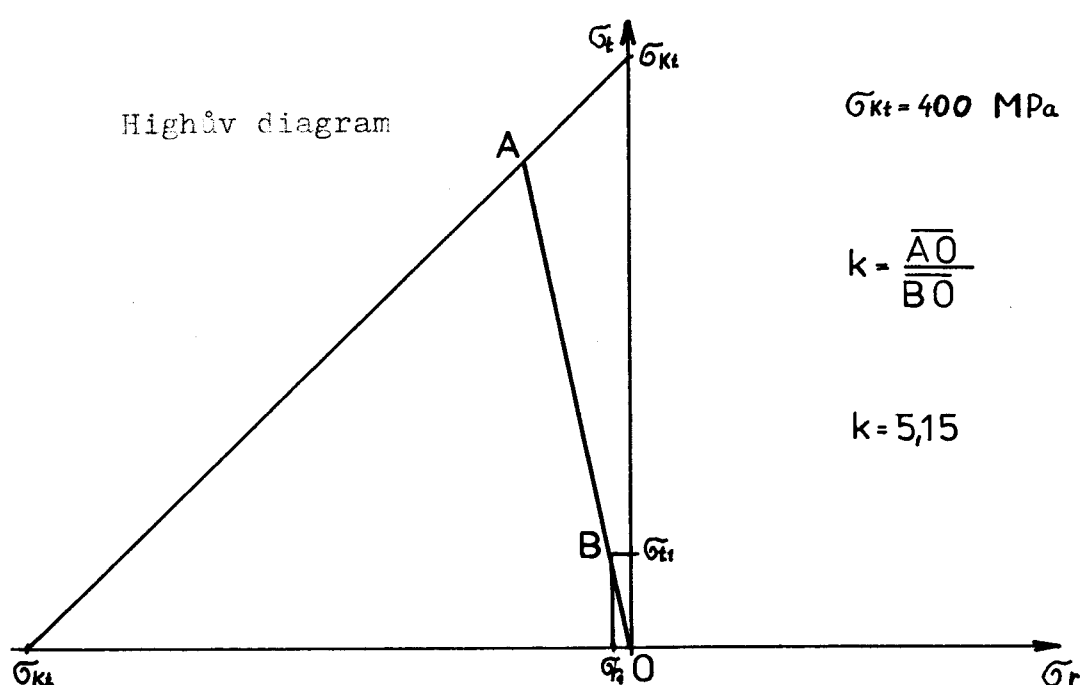
$p$  ... tlak

$r$  ... vnitřní poloměr nádoby /m/

$R$  ... vnější poloměr nádoby /m/

$$\sigma_r = -12 \text{ MPa}$$

Pezpečnost zjistíme z Highova diagramu.



obr. 24

Z vypočtené bezpečnosti je zřejmé, že navržená tlaková nádoba vyhovuje.

Dno:

Připustíme-li, že i v prášku se šíří tlak dle Pascalova zákona / což samozřejmě vzhledem k vlastnostem prášku přesně neplatí /, tak můžeme spočítat dle [9] bezpečnost dna a sílu na něj působící. Vzhledem k výše uvedené poznámce budeme výsledky brát pouze jako informativní.

Pro napětí platí:  $\sigma_m = \frac{1}{8} \cdot \frac{D^2}{h_d^2} \cdot p / \text{Pa} /$   
kde: D... průměr dna / m /

$h_d$ ... tloušťka dna / m /

p... max. tlak / Pa /

Pro hodnoty  $D = 130 \text{ mm}$ ,  $h_d = 18 \text{ mm}$ ,  $p = 12 \text{ MPa}$

je  $\sigma_m = 78,3 \text{ MPa}$

Bezpečnost pro zvolenou ocel 13 220

$k = \frac{\sigma_{kt}}{\sigma_m}$  pro známé hodnoty a je  $k = 5,6$ .

Síla na dno:

Síla se spočítá jako součin plochy a tlaku na tuto působící.

$$S = \frac{\pi \cdot D^2}{4} / r^2 / \quad \dots \text{průměr dna} / \text{m} /$$

pro  $D = 130 \text{ mm}$  / je  $\dots \text{plocha dna} / \text{m}^2 /$

$$S = 0,0132732 \text{ m} \quad F_d \dots \text{síla na dno} / \text{N} /$$

$F_d = p \cdot S$  pak pro  $p = 12 \text{ MPa}$  je

$$F_d = 159276 \text{ N}$$

Je nutné podotknout, že síla na dno se bude rušit nevností podložky /stolu lisu/, na kterou je nádoba připevněna.

Výpočet svaru dna:

lno je přivařeno k válcové části tupým svarom  $\frac{1}{2}$ .

Svar je namáhan dynamicky mlživým napětím. Je nutno spočítat bezpečnost při namáhání na únavu / dle [4] /.

Součinitel rázu  $\varphi \dots \varphi_{sl}$

Součinitel vyjadřující velikost z tuhosti svařenec  $\gamma \dots \gamma = 1$

Použitá ocel ... 13 220

Zatížovací síly ...  $F_{min} = 0$ ,  $F_{max} = F_d$ ,  $\varphi = 159276 \text{ N} /$

Průřez svaru  $S_{sv} \dots S_{sv} = D \cdot t = \pi D \cdot t = 6949 \text{ mm}^2$

Kde:  $t \dots$  tloušťka stěny, mm

$\text{D} \dots$  průměr nádoby /m/

Minim. průřez zákl. materiálu ...  $S_z = 6949 \text{ mm}^2$

Dolní namáhání - svar. spoje ...  $G_{nsv} = G_{nz} = 11,5 \text{ MPa}$

- zákl. materiálu ...  $G_{nz}$

Horní namáhání - svar. spoje ...  $G_{hsv} = \frac{G_{nsv}}{2} = 5,75 \text{ MPa}$

- zákl. materiálu ...  $G_{hz} = 22,0 \text{ MPa}$

Střední namáhání - svar. spoje ...  $G_{m_{sv}} = \frac{G_{nsv} + G_{hsv}}{2} = 11,5 \text{ MPa}$

- zákl. materiálu ...  $G_{mz} = 11,5 \text{ MPa}$

$\frac{G_{m_{sv}}}{G_{hsv}} = 2,0$

Nez únavy svarového spoje ze Smithova diagramu v [4] pro uvedený poměr a dovolené napětí  $G_c = 290 \text{ MPa}$   
vrutkový činitel  $\beta = 1,15$

Nez únavy svarového spoje a připojeného průřezu

$$G_{Dsv} = G_{Dz} = \frac{\pi}{\beta} \cdot \gamma \cdot G_c = 191 \text{ MPa}$$

Pezpečnost  $\mu = \frac{G_{Dsv}}{G_{hsv}} = 0,3$

Svar vyhovuje.

Síla na uzavírací razník:

Tato síla se spočítá za stejných předpokladů jako v výpočtu dna.

$$S = \frac{\pi D^2}{4} \cdot p / \quad \text{d... vnitřní průměr dna/m/}$$

pro  $D = 100 \text{ mm}$  je  $S = 7854 \text{ mm}^2$   $\text{d... plocha razníku/m}^2/$

$$F_v = p \cdot S / \quad F_v \dots \text{síla na razník/N/}$$

pro  $p = 12 \text{ MPa}$  je

$$F_v = 94248 \text{ N}$$

Síla na víko:

Na víko bude působit pouze síla od tlaku kapaliny působící na ploše mezikruží meni vnitřním průměrem tlakové nádoby a plechovým ochranným košem.

$$S = \frac{\pi D^2 \cdot \pi d^2}{4} \cdot p / \quad \text{pro } D = 100 \text{ mm a } d = 100 \text{ mm je}$$
$$S = 801,5 \text{ mm}^2$$

$$F_v = p \cdot S / \quad \text{pro } p = 12 \text{ MPa je}$$

$$F_v = 9618 \text{ N}$$

Víko je přišroubováno k tělesu nádoby 8 šrouby s vnitřním šestihranem M 6.

Kontrola na otlačení [4]

Provědeme výpočet potřebného počtu závitů na šroubu, za před-

pokladu rovnoramenného namáhání všech závitů.

$$z = \frac{\pi}{4} / D^2 = \frac{F}{d_3^2} / \cdot p_{\text{dov}} \cdot i$$

pro -sílu na víko...  $F = 9664 \text{ N}$

-dovolený tlak...  $p_{\text{dov}} = 20 \text{ MPa}$

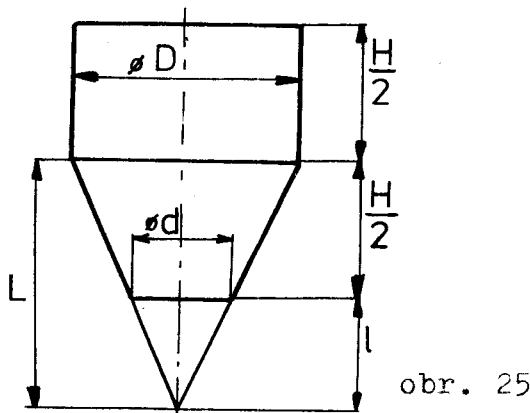
-průměr závitu...  $D = 6 \text{ mm}$

-vnitřní průměr závitu...  $4,773 \text{ mm}$

-počet šroubů...  $i = 8$  je nutný počet závitů na jednom šroubu  $z = 5,8 \sim 6$

#### 4. 2. 3. Výpočet formy

Vnitř tlakové komory se nachází vlastní tvářecí nástroj, a tím je pryžová forma. Je vyrobena z měkké pryže. Na vnější stěnu formy dosedá pryžová matrice. Tyto dvě části jsou chráněny plechovým perforovaným košem.



obr. 25

$$V_C = V_1 + V_4$$

$$V_1 = \frac{\pi D^2}{4} \cdot \frac{H}{2}$$

$$V_4 = V_2 - V_3$$

$$V_2 = \frac{1}{3} \cdot \frac{\pi D^2}{4}$$

$$V_3 = \frac{1}{3} \cdot \frac{\pi d^2}{4}$$

Pro hodnoty  $D = 100 \text{ mm}$

$H = 200 \text{ mm}$

$\alpha = 8^\circ$  dostáváme:

-D... vnitřní průměr formy /m/

-H... výška formy /m/

- $\alpha$ ... sklon kuželové části /°/

-d... průměr dna formy /m/

-L... výška velkého kužele /m/

-l... výška malého kužele /m/

- $V_C$ ... celkový objem formy /m<sup>3</sup>/

- $V_1$ ... objem válcové části /m<sup>3</sup>/

- $V_4$ ... objem komolého kužele /m<sup>3</sup>/

- $V_2$ ... objem velkého kužele /m<sup>3</sup>/

- $V_3$ ... objem malého kužele /m<sup>3</sup>/

$$L = \frac{D}{2 \cdot \operatorname{tg} \alpha} = 396 \text{ mm}$$
$$l = L - \frac{H}{2} = 296 \text{ mm}$$
$$d = 2 \cdot \sqrt{\frac{D}{2}} - \frac{H}{2} \cdot \operatorname{tg} \alpha / = 75 \text{ mm}$$

pak  $V_1 = 785 \text{ mm}^3$

$$V_2 = 1036 \text{ mm}^3$$
$$V_3 = 435 \text{ mm}^3$$
$$V_4 = 600 \text{ mm}^3$$
$$V_c = 1386 \text{ mm}^3$$

hmotnost náplně m

$$m = V_c \cdot \varrho / \text{kg} / \quad \varrho \dots \text{sypná objemová hmotnost prášku} \\ \text{pro } \varrho = 170 \text{ kg.m}^{-3} \text{ je} \quad / \text{kg.m}^3 /$$
$$m = 0,236 \text{ kg}$$

počet cyklů, které musí zařízení vykonat, aby zpracovalo  
150 kg prášku za směnu c

$$c = \frac{m_o}{m} \quad m_o \dots \text{hmotnost prášku ke zpracování} \\ \text{pro } m_o = 150 \text{ kg} \quad / \text{kg} / \quad \text{je}$$
$$c = 637 \text{ cyklů}$$

maximální doba trvání jednoho cyklu při 8 hodinách provozu  
zařízení  $t_1$

$$t_1 = \frac{ts}{c} / \text{s} / \quad t_s \dots \text{pracovní doba/s/} \\ \text{pro } t_s = 28800 \text{ s} \quad \text{je}$$
$$t_1 = 45 \text{ s}$$

Rozměry výlisku po zhutnění.

Uvažuje se čistě radiální zhutňování /výška výlisku se nemění/  
a hmotnost výlisku před a po zhutnění musí zůstat zachovaná.

$$m = \bar{m} / \text{kg} / \quad \bar{m} \dots \text{hmotnost náplně}$$
$$V \cdot \varrho = \bar{V} \cdot \varrho' / \text{kg} / \quad \bar{V} \dots \text{hmotnost výlisku}$$
$$\bar{V} = \frac{V \cdot \varrho}{\varrho'} / \text{m}^3 / \quad V \dots \text{objem formy}$$

$$V = \frac{\pi d^2}{4} \cdot H / m^3 \quad V \dots \text{objem výlisku}$$

$$H = \bar{h} / m \quad \bar{h} \dots \text{synná obj. hmotnost prášku/kg.m}^{-3}$$

$$d = \sqrt{\frac{4V}{\pi}} / m \quad \bar{s}' \dots \text{obj. hmotnost výlisku /kg.m}^{-3}$$

$$\bar{d} \dots \text{průměr výlisku}$$

$$H \dots \text{výška formy /m/}$$

$$\bar{H} \dots \text{výška výlisku /m/}$$

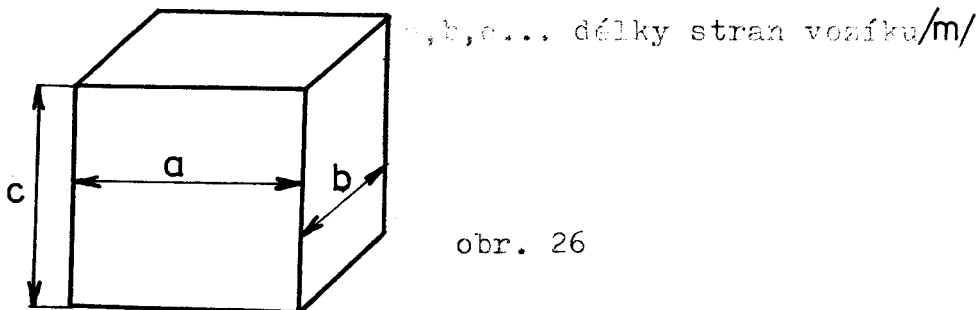
po dosazení známých hodnot uvedených veličin je

$$d = 43,2 \text{ mm}$$

#### 4. 2. 4. Výpočet zavážecího vozíku

Nádoba, která tvoří stěny vozíku je svařena ze čtyř plechů. Na této nádobě je přišroubován rámeček. Na jsou pak přivařeny vodící trubky s pouzdry a oko umožňující spojení vozíku s pístnicí hydraulického válce pomocí vidlice a čepu. Objem nádoby vozíku je volen tak, aby byl větší než objem formy.

$$V \dots \text{objem vozíku/m}^3$$



PRO  $a = b = c = 120 \text{ mm}$  je

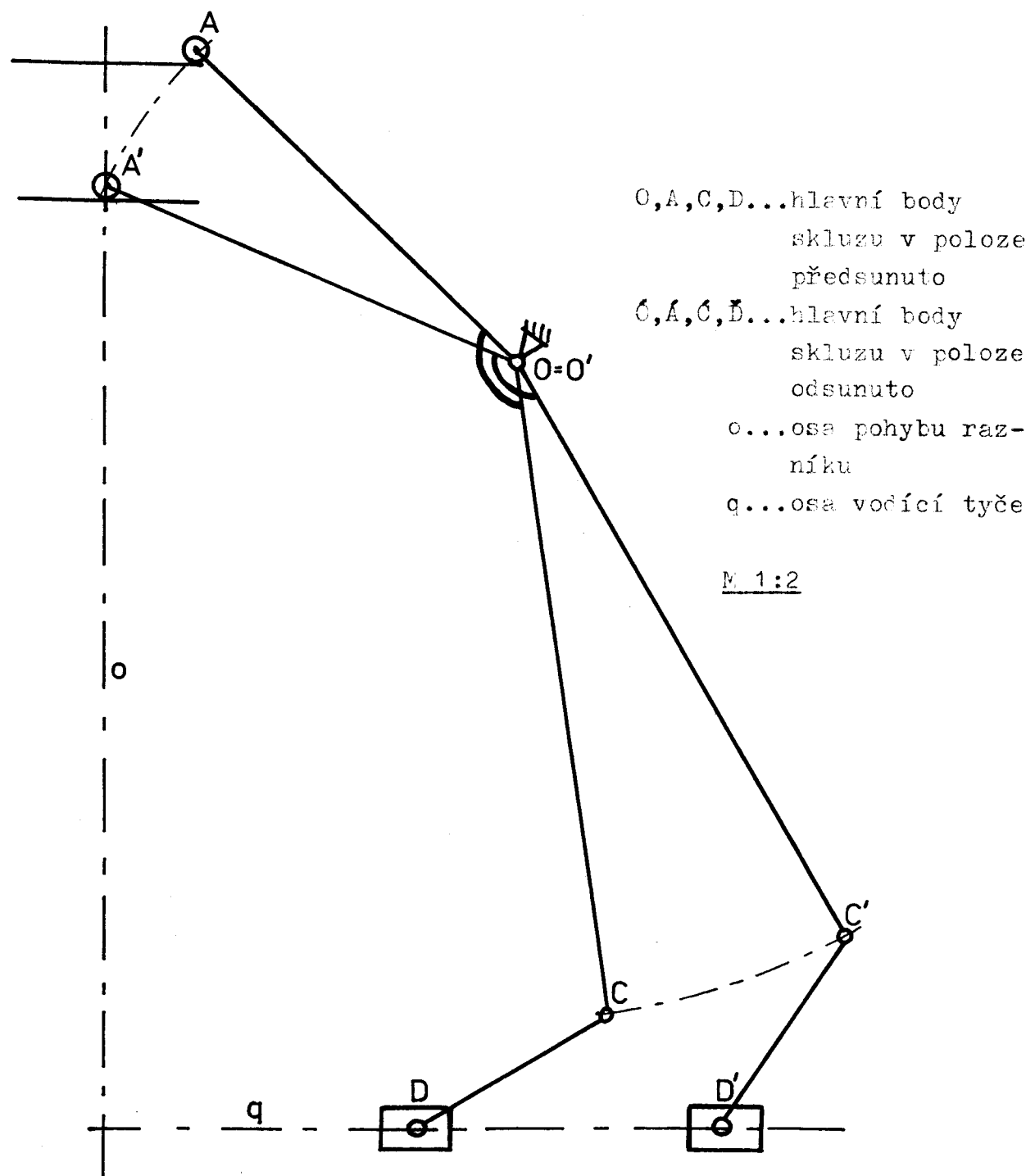
$$V = a \cdot b \cdot c = 1728 \text{ mm}^3$$

#### 4. 2. 5. Mechanismus skluzu /obr. 27/

V principu se jedná o klikový mechanismus, který má zajišťovat dvě polohy vlastního skluzu.

Je dán: -potřebný zdvih skluzu...  $z = 100 \text{ mm}$

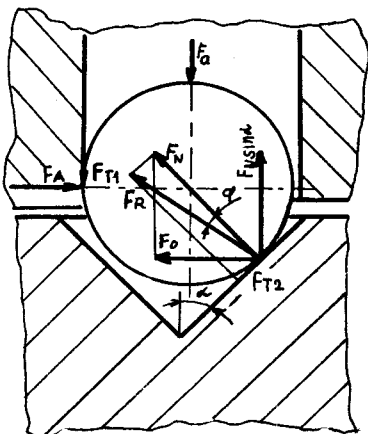
-dostatečná vzdálenost výlisku nad forrem...  $h = 88 \text{ mm}$



obr. 27

Jedná se tedy o syntézu klikového mechanismu, u něhož máme dány krajní polohy "pístu" a dvě mezní polohy kliky. Úložný bod kliky, její délku a délku těhlice si můžeme volit v rámci prostoru vymezeného lisem. Postaváme tak teoreticky nekonečně mnoho řešení klikového mechanismu, který splňuje zadané podmínky. Jedno z možných řešení je na obr. 27. Konstrukce mechanismu skluze dovoluje jeho odtačení z prostoru nad formou zavážecím vozíkem. Toto je umožněno systémem dvou trubek s pouzdry a kuličkového zámku /viz výkres č. O-DP-374,81-01/. Vnitřní trubka, na kterou je přivařen vlastní skluz, jezdí po vodící tyči. Posunutí skluze do funkční polohy zabezpečuje vnější trubka, která je s vnitřní spojena kuličkovým zámkem. Vozík přijíždí nad formu, zatlačí pomocí narážky na vnitřní trubku, vyraží kuličkový zámek a celý sklus odtačí. Aby nedocházelo k otáčení vnitřní trubky kolem vodící tyče, je zajištěna perem. Kuličkový zámek je tvořen třemi kuličkami, které jsou přitlačovány pružinami do jámek postočených proti sobě o  $120^\circ$ . Lružiny jsou zajištěny šrouby zašroubovanými ve válcových segmentech, přivařených na trubku.

Síla potřebná k vyražení zámku se spočte dle [4] obr. 28.



- Fa...síla od pružiny /N/  
FA...síla vyrážecí /N/  
Fo...síla odporová /N/  
FT1..síla třecí /N/  
FT2..síla třecí /N/  
FN...síla normálná /N/  
FR...výsledná reakce /N/

obr. 28

Při jejím výpočtu se uvažuje okamžik, kdy se otočí poloviny zámku začnu posouvat proti síle  $F_a$ , vyvozené tlačnou pružinou.

$$F_a + FT_1 + FT_2 \cdot \cos \alpha = FN \cdot \sin \alpha = 0 \quad / : /$$

$$F_a = FN \cdot \cos \alpha - F' \cdot \sin \alpha = 0 \quad / : /$$

$$FT_1 = f \cdot FA \quad FT_2 = f \cdot F' \quad FN = \frac{F_o}{\cos \alpha} \quad / : /$$

To dosazení a úpravě bude:

$$FA = \frac{F_o}{\frac{\tan \alpha - f}{1 + f \cdot \tan \alpha} - f} \quad / : /$$

Pro hodnoty

$$F_a = 33,5 \text{ N}$$

$$\alpha = 60^\circ$$

$$f = 0,1 \quad \text{je}$$

$FA = 26 \text{ N}$  a  $FAc \dots$  celková síla k vypnutí

$$FAc = 3 \cdot FA = 78 \text{ N}$$

Sílu  $F_a$  vyvozuje pružina ČSN C2 6020, kde

$$d = 0,8 \text{ mm} \quad d \dots \text{průměr drátu pružiny}$$

$$D = 4,8 \text{ mm} \quad D \dots \text{vnější průměr pružiny}$$

$$F_g = 33,5 \text{ N} \quad F_g \dots \text{síla ve stavu plně zatíženém}$$

$$l_g = 6,7 \text{ mm} \quad l_g \dots \text{délka ve stavu plně zatíženém}$$

$$l_o = 9 \text{ mm} \quad l_o \dots \text{délka ve stavu volném}$$

Kuličkový zámek opět zaskočí, vrátí-li tažná pružina vnější trubku do pravé krajní polohy. To se stane tehdy, sjedou-li razník dolů.

Volba vratné pružiny pro mechanismus skuzu.

Byla zvolena pružina ČSN C2 6030, kde

$$d = 2,5 \text{ mm}$$

$$D = 22,5 \text{ mm}$$

$$F_g = 190 \text{ N}$$

$$P_p = 20 \text{ N} \quad P_p \dots \text{předpětí}$$

$$L_g = 158 \text{ mm}$$

$$L_z = 90 \text{ mm} \quad L_z \dots \text{závěsná délka}$$

#### 4. 2. 6. Mechanismus razníku

Na obr. 29 je nakresleno funkční schema mechanismu razníku. Celý mechanismus je sestaven z vlastního uzavíracího válce /razník/, opěrného pouzdra, trnu a pružiny. Tento systém je přišroubován na pístnici hydraulického válce.

##### Princip práce:

Před dosažením horní krajní polohy pístnice 1 se opře pouzdro 2 o přední přírubu válce uzavírání 3. Pístnice 1 pokračuje v pohybu nahoru za současného stlačování pružiny 4. K sejmutí výlisku 5 dojde po malém zasunutí trnu 5 do razníku 6, kdy se výlisek odtrhne od trnu a padá na předsunutý skluz.

##### Volba pružiny:

Byla zvolena válcová tlačná, uzavřená, obrcbená pružina dle ČSN C2 6C20, kde

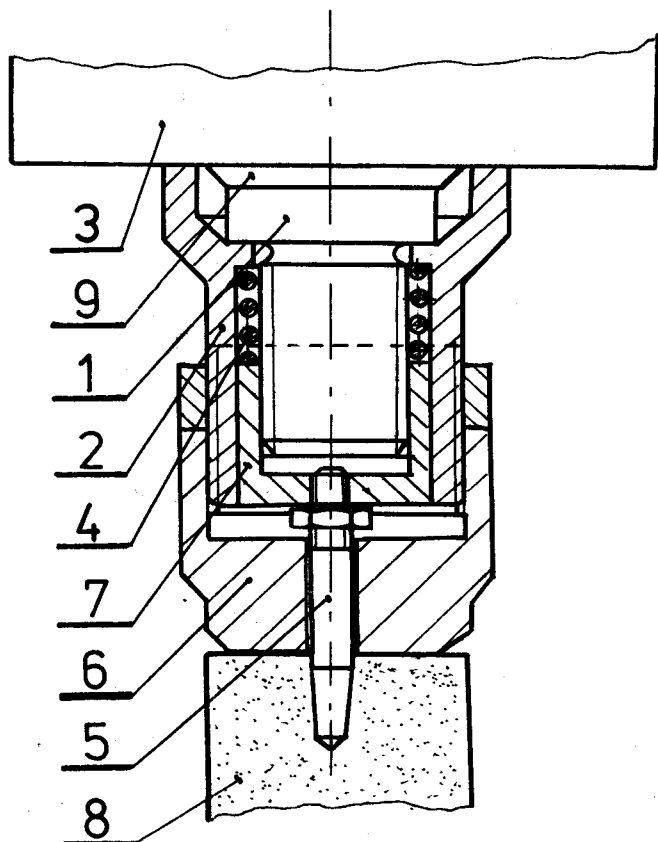
$$d = 5 \text{ mm}$$

$$L = 68 \text{ mm}$$

$$F_g = 400 \text{ N}$$

$$I_g = 40 \text{ mm}$$

$$L_o = 110 \text{ mm}$$



- 1... pístnice
- 2... oršrné pouzdro
- 3... příruba válce
- 4... pružina
- 5... trn
- 6... rauzník
- 7... vodící pouzdro
- 8... výlisek
- 9... stěrací kroužek

cbr. 29

## 5. Technicko-ekonomické zhodnocení

V diplomové práci je proveden s konstrukčně zpracovaným projektovým návrhem zařízení na izostatický předlís prášku  $Al_2O_3$ . Tako upravený prášek se dále zpracovává a v konečné fázi výroby se z něj lisejí trubice, které se používají jako hořáky do vysokotlakých sodíkových výbojek.

Dříu návrhu zařízení byl použit následující postup:

- 1/ Rozbor současného stavu.
- 2/ Alternativní studie s výběrem a zdůvodněním výběru varianty řešení.
- 3/ Projektový návrh. Ten byl pak rozdělen na dvě základní fáze.
  - a/ návrh s řešení pracovního obvodu
  - b/ návrh konstrukce a konstrukční zpracování

Návrh pracovního obvodu je proveden takovým způsobem, aby obvod splnil všechny požadované funkce v rámci automatického pracovního cyklu. Navržený pracovní obvod, na kterém je kombinován hydraulický okruh v části výkonové a elektrický v části řídící, je popsán příslušnými schématy a částečnou specifikací prvků. Prvotní výběr byl zarežen na prvky vyráběné u nás, což se z části zdařilo. Elektrický impulsový systém je sestaven výhradně z prvků tuzemské výroby. Horší byla situace při sestavování hydraulického okruhu, vzhledem k obtížím s tuzemskou výrobou a dodávkami potřebných prvků / hlavně se jedná o prvky silové /. Proto se přistoupilo na použití hydraulického lisu PYE 10 N /NDR/ a hydraulického válce firmy Herion /NSR/.

### 5. 1. Přínos zařízení.

V současné době je předlis prášku  $\gamma$ -Al<sub>2</sub>O<sub>3</sub> prováděn na vysokotlakém izostatickém lisu, lisováním v mokré formě. Obsluhu může provádět 1 pracovník, který zároveň musí ručně plnit formy, manipulovat s nimi a vyjmout výlisky. Tato práce je značně neproduktivní, to znamená i neekonomická, čili v souhrnu neefektivní.

Pá-li být navržené zařízení ekonomicky výhodné, musí nutně přispívat:

- ke zvýšení produktivity
- ke snížení nákladů na jednotku produkce
- ke zlepšení produkce

Tato základní hlediska se vzájemně prolínají a přistupují k nim i další pomocná hlediska:

- zlepšení pracovních podmínek
- hospodárnost t.j. účinnost za skutečných provozních podmínek
- provozní požadavek obsluhy a údržby
- předpokládaná životnost zařízení

#### 1/ Zvýšení produktivity.

Produktivita je určena množstvím produkce vyrobeným za určitou dobu. Její zvýšení lze docílit zkrácením doby potřebné ke zhotovení jednoho výlisku. Protože čas trvání jednoho pracovního cyklu u ruční výroby je závislý na očadu a zručnosti obsluhy, provedu srovnání pouze informativní.

U ručního způsobu musí pracovník naplnit několik forem /mají menší objem / cca 5, spotřebuje-li na naplnění každé

z nich 10 s, pak jen plnění bude trvat cca 50 s. Dále musí dát formy do koše, ten vložit do autoklávu, autoklív uzavřít, spustit lis. Doba na čas lisování. Tak otevře autokláv, vyjmé koš, vyndá z něj formy a z nich zase výlisky. 1 cyklus může trvat odhadem 4 - 5 minut.

Maximální doba trvání 1 cyklu na navrženém zařízení je 45 s.

### 2/ Zlepšení produkce.

V našem případě není kvalita výlisku rozhodující / budou se stejně rozdružovat na granulát /, ale určitý význam může mít pokaždé stejné zaplnění formy, což u ručního způsobu není zaručeno.

### 3/ Snížení nákladů na jednotku produkce.

Na úsporu provozních nákladů má v našem případě zejména příznivý vliv splnění klesiska 1/. Pro skutečné posouzení nákladů je navíc směrodatná cena zařízení, která se dá stanovit až po provedení podrobné hodnotové analýzy. Pro tu-to však chybí potřebné podklady.

Na výši nákladů mají vliv i uvedená pomocné klesiska:

- obsluha a údržba
- pracovní podmínky
- hospodárnost
- životnost zařízení

Předpokládá se, že k obsluze zařízení postačí jeden pracovník.

Problémem zůstává prašnost prostředí. Její odstranění nebo podstatné snížení by bylo možno provést hermetickým zakrytováním celého zařízení a z tohoto prostoru výrným podtlakem vysávat vzduch s rozprášeným práškem kysličníku hli-

nitého. Ještě je třeba podotknout, že i odstranění ruční manipulace s práškem se podstatně zvýší hygiena práce. Hospodárnost / účinnost za skutečných provozních podmínek / nelze v této fázi určit. Totéž platí o předpokládané životnosti.

Z technického hlediska navržené zařízení splnilo výchozí požadavky, a to:

- výrobnost 150 kg prášku za směnu
- plně automatický cyklus

Výrobnost je zajištěna použitím vhodné velikosti formy a délky l cyklu. Automatizace pracovního cyklu, která byla podmíněna komplexní mechanizací, je zajištěna pracovním hydraulicko - elektrickým obvodem.

## 6. Závěr

Úkolem mé diplomové práce bylo navrhnut zařízení pro předlis prášku  $\gamma$ -Al<sub>2</sub>O<sub>3</sub> izostatickým lisováním v sušé formě. Podařilo se splnit požadavky na zařízení kladené, a to:

- automatický pracovní cyklus
- výrobnost 150 kg prášku za směnu

Navržené zařízení by mělo sloužit v lince na výrobu transparentních trubic z kysličníku hlinitého pro vysokotlaké sodíkové výbojky. Toto zařízení by značně zvýšilo produktivitu práce a zlepšilo pracovní prostředí.

Závěrem bych chtěl poděkovat Ing. Františku Novotnému za jeho cenné rady a připomínky k řešení i za trpělivost, se kterou se mi po celou dobu věnoval.

7. S e z n a m p o už i t é l i t e r a t u r y

- [1] Čulc, P.: Diplomová práce 333/79, VŠST Liberec, 1979.
- [2] Špaček, V.: Diplomová práce 353/80, VŠST Liberec, 1980.
- [3] Černoch, S.: Strojní technická příručka, SNTL Praha, 1977.
- [4] Vrzal, F.: Strojnické tabulky, SNTL Praha, 1972.
- [5] Herion, Hydraulik katalog.
- [6] Hašková, E., Novotný, F.: Izostatické lisování, VŠST Liberec, 1980, 38 s.
- [7] Hašková, E., Novotný, F.: Lisování keramických prášků, Závěrečná zpráva, VŠST Liberec, 1977, 52 s.
- [8] Belada, E., Balcar, C.: Lisovací nástroje z plastických hmot, Nové technologické snadry v keramice/ sborník přednášek /, Česká vědeckotechnická společnost, DDM, Brno, 1976.
- [9] Márc, J.: Výpočty pevnosti tlakových nádok, SNTL Praha, 1962.
- [10] Timochova, E., Silvestrov, L.: Kvaziizostatické lisování keramiky, Státní i keramika, 1979, / 0 /, 16.

8. S e z n a m p ř í l o h

Nedílnou součástí této diplomové práce je výkresová dokumentace.

I-PP-374/81-00 ... Automat na přečisování prášku  $\gamma$ -Al<sub>2</sub>O<sub>3</sub>

O-PP-374/81-01 ... Izostatický lis s příslušenstvím